

港湾技研資料

TECHNICAL NOTE OF
THE PORT AND HARBOUR RESEARCH INSTITUTE
MINISTRY OF TRANSPORT, JAPAN

No.349

June 1980

突堤後方の流れに関する実験
—模型ひずみの影響の検討—

加藤始
木村久雄
寺川博也

運輸省港湾技術研究所



目 次

要 旨	1
1. ま え が き	1
2. 実 験 概 要	2
2.1 実 験 装 置	2
2.2 実験方法と実験ケース	3
2.3 測 定 方 法	3
3. 実験結果とその検討	4
3.1 突堤がないときの流れ	4
3.2 流れの可視化による突堤の後流の観察	6
3.3 平均流速の分布	6
3.4 突堤の後流における乱れの特性	10
3.5 参考データ	15
4. ま と め	17
参 考 文 献	18
付 錄	19

Experiments on the Flow Downstream of a Jetty

— Investigation of the effect of the model distortion —

Hajime KATO*

Hisao KIMURA**

Hiroya TERAKAWA**

Synopsis

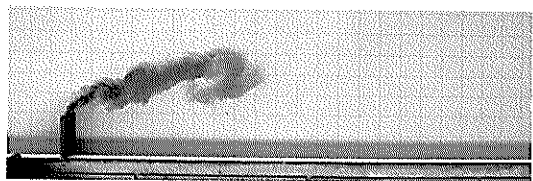
In order to investigate the effect of the model distortion upon the flow downstream of a jetty, some experiments have been made by changing the length of the jetty as $L = 50, 25, 12.5$, and 5 cm in a $3.25\text{ m} \times 10.0\text{ m}$ model basin with 10 cm of water depth and about 9.0 cm/s of steady current. The spatial distribution of mean velocities, U , and turbulence at $z = 2\text{ cm}$ in the downstream area were measured by using 26 mm and 3.0 mm propeller current meters.

From the contour lines of U/U_0 (U_0 : without the jetty) it is inferred that the blockage effect due to the opposite side wall is influential in the case of $L = 50\text{ cm}$ where the maximum value of U/U_0 was nearly 1.6 . The relative size of the separation-bubble behind the jetty x_b/L was found to increase from $x_b/L \doteq 12.2$ (for $L = 5\text{ cm}$) to $x_b/L \doteq 14.0$ (for $L = 50\text{ cm}$) and the latter value is expected to be a little larger without the blockage effect. This suggests that x_b/L is influenced by the model distortion.

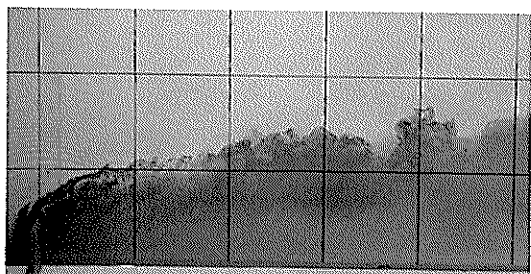
From the results of turbulence measurements it was found that the turbulence intensity in the same position relatively to the jetty changes considerably with L .

* Chief of Hydrodynamics Laboratory, Marine Hydrodynamics Division

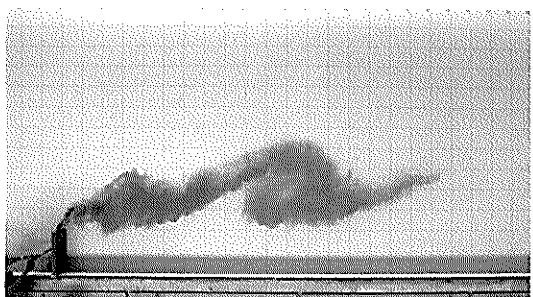
** Member of Hydrodynamics Laboratory, Marine Hydrodynamics Division



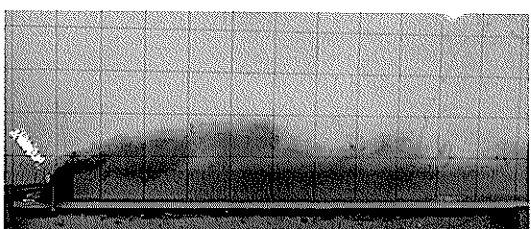
写真一 2(a) Case 4



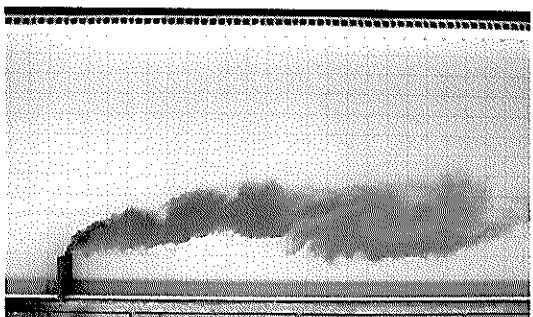
写真一 3(a) Case 2



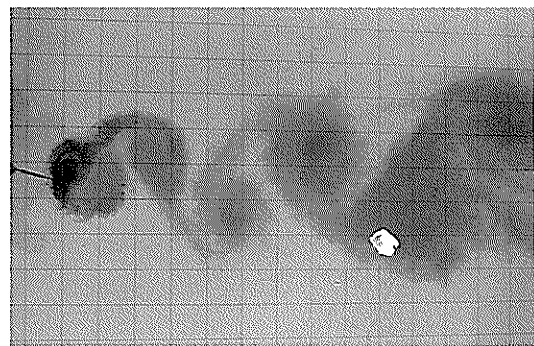
写真一 2(b) Case 4



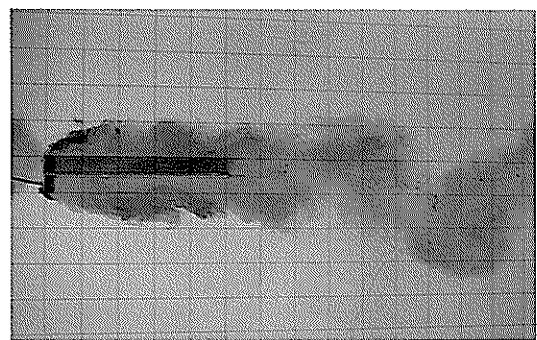
写真一 3(b) Case 2



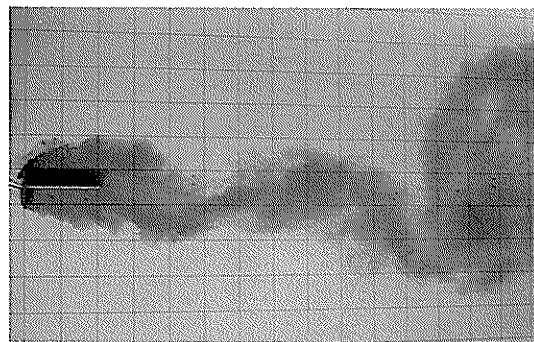
写真一 2(c) Case 4



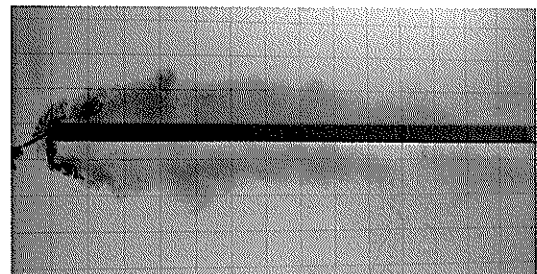
(a) $l = 0$



(c) $l = 5L$



(b) $l = 2L$



(d) $l = 14L$

写真—5 Splitter plate の長さ l による垂直平板後流渦の変化

突堤後方の流れに関する実験 —模型ひずみの影響の検討—

加藤 始*

木村 久雄**

寺川 博也**

要　旨

本資料では、突堤の潮流制御効果とそれに及ぼす模型ひずみの影響を調べるために行った実験の結果を述べている。実験は 3.25 m (幅) × 10.0 m の測定部をもつ回流平面水槽を使い、水深は 1.00 cm、流速は約 9.0 cm/s に固定し、岸から 1 本だけ出した突堤の長さを模型ひずみの変化に対応するよう $L = 50, 25, 12.5, 5$ cm と変化させて行った。測定には大・小 2 つのプロペラ流速計を使い、 $Z = 2$ cm の水深で平均流速 U と乱れの平面分布を測定した。

各ケースの U/U_0 (U_0 : 突堤なしの場合) の平面分布の Contour を比較すると、 $L = 50$ cm の結果は他と少し異っており、これは側壁の影響と考えられる。また突堤後方のはく離領域の大きさを再付着点までの距離 x_b と L の比で比較すると、 $L = 5$ cm では $x_b/L \approx 1.21$ 、 $L = 50$ cm では $x_b/L \approx 1.40$ となるが、後者の値は側壁の影響がなければもっと大きくなることが予想され、模型ひずみが大きくなるほど x_b/L の値は小さくなる傾向のあることがわかった。

1.0 Hz 程度までほぼ平坦な周波数応答性をもつ 3.0 mm のプロペラ流速計を使った乱れの側定結果からは、模型ひずみの差が、突堤に相対的には等しい位置での乱流強度の大きさにかなり影響を及ぼすことがわかった。

1. まえがき

海岸構造物としての突堤は、海岸の侵食や河口港の埋没を防止するために設置されることが多く、これらの場合には、突堤の沿岸流を阻止する機能が使われている。一方、大きな潮流の生じる海域に面した港では、流れにより船のけい船が困難になる場合があり、その周辺での流れを低減させる目的で突堤の設置が計画されることがある（たとえば文献 1) 参照）。これは比較的大きな流れの中に突出させた突堤の後流を積極的に利用しようとするものであるが、その計画の実施に当っては、突堤の設置による流況の変化を模型実験により前もって十分に調べておく必要がある。

ところで從来から水理模型実験では、実験に必要な水深の維持と水槽の大きさの制約からひずみ模型が使われることが多い、この場合、模型のひずみが突堤の潮流制御効果に影響を及ぼしはしないかということが、1 つの大きな疑問点として残されてきている。

ところで河川維持の目的で使用される各種の水制のうち、不透過非越流型水制のもつ水はねの機能は、突堤の潮流制御効果と類似のものであり、これについては從来いくつかの研究が行われている。^{2), 3), 4)} ただし、水はね水

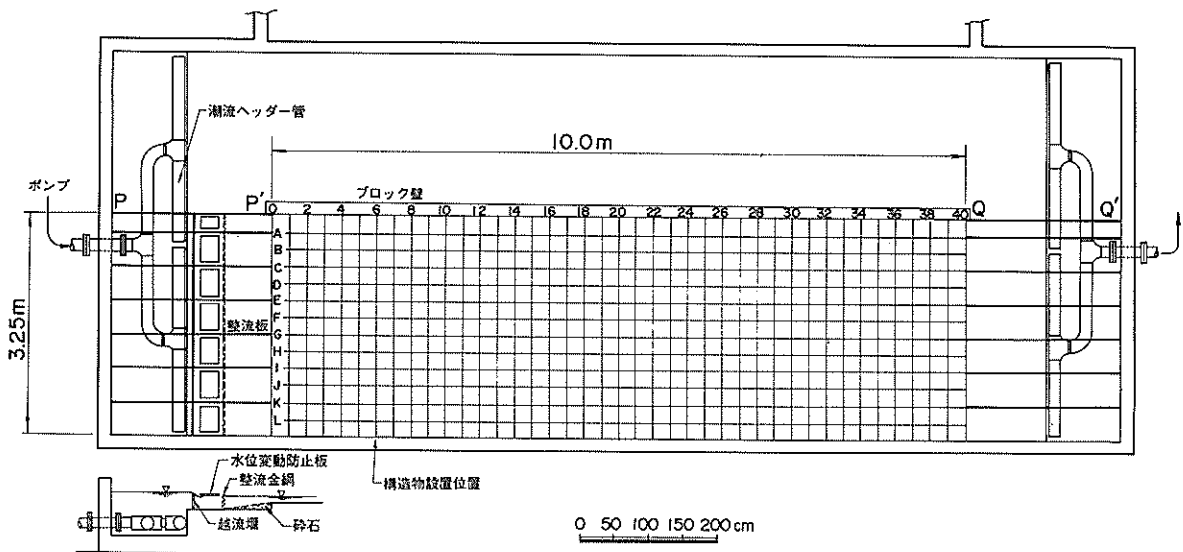
制の研究でもっとも関心がもたれているのは自由流線 (Free streamline) の形状や水制域（下流側のはく離領域）の長さのよう、1 本の水制が下流側の流速分布をどのように変えるかについて実験的にくわしく調べた例はないようである。

一方、地上に設置されたしゃ（遮）風壁の模型実験に相当するような垂直平板の後流に関する風洞実験は、これまでに Arie & Rouse,⁵⁾ 谷,⁶⁾ Good & Joubert⁷⁾ などによって行われている。しかしそれらは 2 次元的な現象を調べたものであり、自由表面をもち水深も有限な 3 次元的要素をもつ突堤の後流の問題に、それらがそのまま適用できるかどうかはわからない。いずれにせよ、水制や 2 次元しゃ風壁についての従来の研究結果から、突堤の後流の性質についてはある程度知ることができるが、突堤の実験における模型ひずみの影響についてはほとんど何も知ることができないであろう。

本研究は、このような背景の下に、突堤の後流の性質と、それに及ぼす模型ひずみの影響を実験的に調べるために行ったものである。結果的には、実験期間や実験施設上の制約から、模型ひずみの影響の検討という当初の目的は十分には達成できなかったが、流れの中におかれ

* 海洋水理部 水理研究室長

** 海洋水理部 水理研究室



図一 1 実験水槽平面略図

た構造物の後流を含む水理模型実験を計画する上で参考になるよういくつかの知見がえられた。

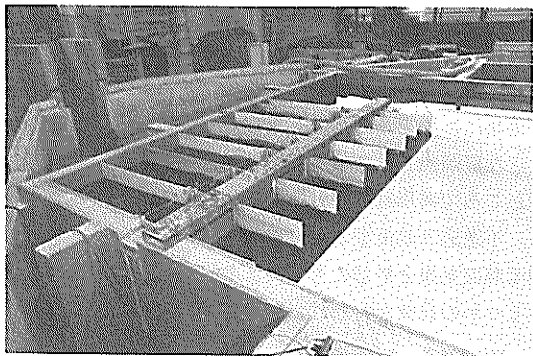
2. 実験概要

2.1 実験装置

実験は、図一 1 に示す当所流理実験室内の平面水槽 ($5.5\text{m} \times 14.5\text{m}$) を使って行った。この水槽には、図一 1 では省略しているが、1 台のポンプにより往復流を機械的に発生させる潮せき流発生装置等(参考文献 8)参照)がついており、水槽内の左右両端にある吸込みと吐出し兼用の潮流ヘッダー管は水循環用のパイプ ($150\text{mm}\phi$) を介してポンプに接続されている。ポンプの最大流量は 60 l/s で、周期 $9\sim120$ 分の近似正弦波形の往復流および定常流が使用できるが、今回の実験では図一 1 で左から右へ流れる定常流を用いた。流量の調節は、潮流発生装置に取付けてある制御弁の開閉により行い、その概略値は水循環パイプに設置されているフロート式流量計により読み取れるようになっている。

今回の実験において水槽の測定部はなるべく広いことが望ましかったが、別の目的で造られた実験床をそのまま利用したので、図一 1 のように水槽の幅をブロック壁で仕切った幅 3.25m 、長さ 10m の範囲しか平坦部が取れず、この部分を測定部として使った。実験での色素による流れの可視化や測定位置の決定に便利なように、この測定部の底面には白色ペイントを塗り、黒色ペイントで図一 1 のように一辺 25cm の格子を画いた。また底面の高さをすべての格子点についてレベルで測定したところ、高低差は主要部で $\pm 3\text{mm}$ 以下であった。

なお、図一 1 に示したブロック壁の延長 $P-P'$ および $Q-Q'$ にも仕切板が(底面まで)設けてあり、これより外側の部分では潮流ヘッダー管の穴をゴム栓で塞いで流れが生じないようにしてある。また測定部における幅方向の流速分布を均一にするため、図一 1 のように測定部の上流および下流のアプローチ部分では、(ヘッダー管より下方を除いて) 50 cm 間隔の整流板で幅方向を分割してあり、上流側に設けた越流ぜき(堰)の高さを各区間ごとに調節して流量を配分している。このため流量を変えると幅方向の流速分布も変るおそれがあり、流量を変えた実験はしにくかった。越流ぜきのすぐ下流には水面変動防止板と整流金網が設けてあり、これによって流れの変動を小さくしている。写真一 1 には、図一 1 に示す構造物設置位置付近から見た流入部の様子を示している。



写真一 1 実験水槽の流入部

2.2 実験方法と実験ケース

一般に水理模型実験ではフルード相似則が適用されるので、模型の幾何学的縮尺が $1/S$ の場合、模型での流速値は現地での値の $1/\sqrt{S}$ にとられる。いわゆるひずみ模型では船直縮尺に比べて水平縮尺が小さくとられるが、模型での流速値の換算には船直縮尺だけが考慮される。すなわち、船直縮尺が同じであれば、ひずみ模型における流速値はひずみなし模型での流速値と同じにとられる。したがって突堤の後流の実験を模型ひずみを変えて行う場合、2つの方法が考えられる。第1は、水深と流速値を一定にし、突堤の長さ（水平縮尺）だけを変えて行う方法である。第2は水平縮尺を固定し、船直縮尺 $1/S$ を変化させるもので、この場合には突堤の長さは一定にし、模型の水深と流速値とをそれぞれ $1/S$ と $1/\sqrt{S}$ に対応して変化させることになる。

このうち第1の方法の方が実際に模型実験を計画する場合の状況に近く、しかも第2の方法に比べて実験がはるかに簡単になるので、今回の実験においては、突堤の長さ（水平縮尺）のみを変える第1の方法に従って実験を行った。

実験における水深は10 cmとし、流量は突堤のない状態において図-1の断面4で測った断面平均流速がほぼ10 cm/sとなるよう調整したが、幅方向の流速分布を一様に調整し終った後でチェックし直してみると、断面平均流速は約9.0 cm/sであった。今回のすべての実験はこの流量のままでし、潮流発生装置の制御弁を固定しておいた。

実験水は低水槽にくみ置いた水道水を実験水槽にポンプアップして用いた。各実験における測定は、ポンプをスタートさせた後、測定部内の流れが十分定常状態になるよう、約1時間ほど待ってから開始した。ただ、水流し始めると測定部下流のヘッダー管付近の水面に汚れた水の被膜が生じることが多く、その場合には表面水をくみ取ることにより、まず被膜を十分除去するようにした。

実験ではいろいろな長さの突堤を置いた場合の各点の流速 U を測定し、同じ点の突堤のない場合の流速 U_0 との比 U/U_0 を求めるということをまず第1に考えた。したがって実験ケースとしては突堤を設けない場合をCase 1とした。突堤は側壁（図の下側）から1本だけ出すことにし、その設置位置は、次に述べるCase 4の反流域の大きさを予備的にテストしてみた結果から、断面6の位置に決めた。突堤の長さ L は50, 25, 12.5, 5 cm の4種類の場合について実験を行った。ケース番号と突堤の長さの関係は表-1のとおりである。当初 Case 2

表-1 各ケースの突堤の長さ

Case	L (cm)
1	なし
2	12.5
3	25
4	50
5	5

～4の3ケースを予定していたが、それらの結果から後で述べるように側壁の影響が大きいことがわかったので、それを極力小さくする目的で、 $L = 5$ cmのCase 5を後から追加したものである。突堤の模型は木製で、その幅は各ケースとも長さの $1/10$ の寸法にとってある。

なお、今回の実験ケースと模型ひずみについていえば、一応 $L = 50$ cm の Case 4 がひずみなし模型 ($1/S = 1/100$ 程度) に相当し、Case 3, 2, 5 がそれぞれ水平縮尺を船直縮尺に比べて $1/2$, $1/4$, $1/10$ にひずませたひずみ模型に対応しているといえる。

2.3 測定方法

流速の測定には2種類のプロペラ流速計を使用した。各実験ケースにおける平均流速の測定に使用した流速計は、直径26 mmの4枚羽のアクリル製プロペラの外周に幅5 mm、厚さ0.4 mmのリングがついた形のもの（三光精密製）で、リングに20個の穴があり、支柱に埋込まれた反射型フォートカプセルが、穴でない部分で光を感じて電圧パルスを発生するように作られている。この流速計の特長は2～3 cm/sの低流速から測定でき、その検定曲線は図-2に示すように直線によくのこと、一方、欠点は局所的な測定に不向きであり、流れの変動

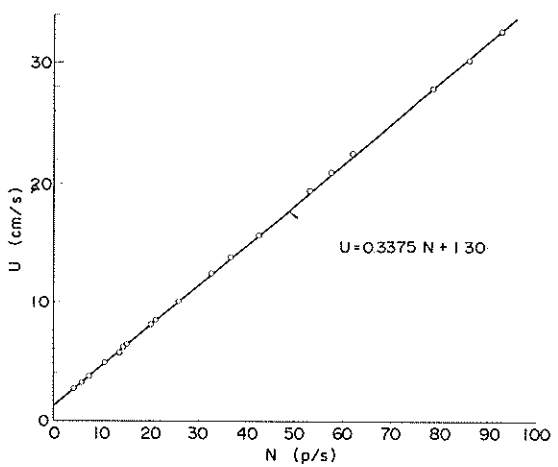


図-2 26 mm ϕ 流速計検定曲線

に対する追従性も悪いということである。この流速計を使った平均流速の測定は、流れの向きを流速計のわくにつけた糸の向きで見い出してその方向にプロペラの向きを合せ、通常100秒間の出力パルスを流速表示カウンターで読み取って行っている。

今回の実験においては、水を十分きれいに保つことができず、そのため hot-film 流速計は使えなかった。そこで、突堤の後流域での乱れをある程度測定するためと、壁の近くの境界層での流速分布を測定するために、直徑 3.0 mm, 8枚羽ステンレス製の超小型プロペラ流速計（篠塚製作所製）を用いた。この流速計の特長は小型であり、流れの変動がかなり検出できるということにある。水路の流れの中で hot-film 流速計と並べて流速変動に対する応答性を調べたところ、 $f = 1.0 \text{ Hz}$ 程度まではほぼ追従するという結果がえられた。欠点は、ゴミや気泡の付着で出力が低下したり、プロペラの向きのわずかの差が出力に影響することがあったりして、安定性に関しては大きいプロペラ流速計より悪いのと、図一3に示し

てこの流速計ではパルス数 N に比例した

$$E = aN + b \quad \dots \dots \dots \quad (3)$$

の形のアナログ電圧 E が出るので、このアナログ出力を通常 $\Delta t = 1/10.24$ 秒のサンプリング速度でデジタルデータレコーダ（DATAAC-2000B）に記録し、 Δt ごとの電圧値を(1)～(3)式の関係により電算機で流速値に変換し、後のデータ処理を行っている。一般に1点ごとの測定時間は3分20秒(2048データ)としたが、FFTでスペクトルを計算する予定の点については6分40秒間の記録(4096データ)をとった。

突堤をおいた各ケースでは、突堤の後流の様子を可視化するため、色素として少し温めたメチレンブルーの濃い溶液を突堤の上流面の水面付近から流し、実験室の天井に設けてある足場から流れの写真撮影を行った。ただ色素によるスチール写真では、目視では明りょうに見られる突堤後方のうずがわかりにくいので、2, 3のポートを使った流れの写真撮影も試みたが、十分な時間的余裕がなく成功しなかった。

3. 実験結果とその検討

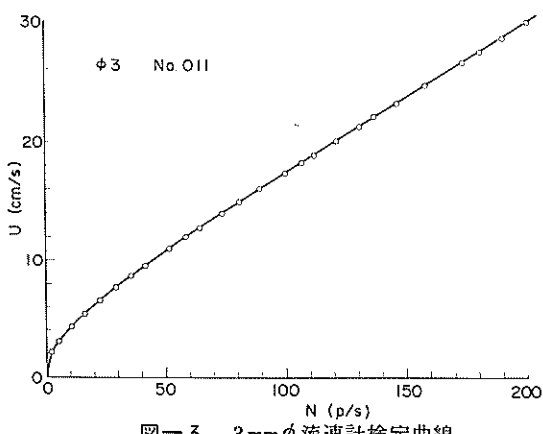
3.1 突堤がないときの流れ

以下に述べる実験結果において、測定点を表わすのに x , y , z の座標を用いるが、 x は突堤の設置位置（図一1の断面6）から側壁に沿って下流側へ測った距離、 y は突堤を取付けた側壁（岸）からの幅方向の距離、 z は水面から下へ測った深さを表わす。

今回の実験では、水槽測定部における幅方向の流速分布を一様にすることがまず必要であったが、2.1で述べたような越流ぜきの方法で調整し、どの断面で測った流速分布のずれも平均値の $\pm 5\%$ 以内に入るようした。

流速の測定は、最初 $z = 2 \text{ cm}$ と $z = 7 \text{ cm}$ の2つの深さについて着手したが、それでは時間がかかりすぎると、図一7や図一12～15に示す鉛直分布の例からもわかるように、各点の流速は鉛直方向にあまり変化しないので、各ケースごとの流速の平面分布の比較は $z = 2 \text{ cm}$ についての測定値だけに基いて行った。なお、この $z = 2 \text{ cm}$ だけでの比較では、それが断面全体の流れの特性を表わしていないといけないので、後で $z = 2 \text{ cm}$ と $z = 6 \text{ cm}$ の幅方向の流速分布についても多少の比較を行っている。

図一4には Case 1 における断面6, 18 および 30（それぞれ $x = 0, 3.0, 6.0 \text{ m}$ ）での幅方向の流速分布を示すが、他の断面における流速分布もこれらと同様にほぼ一様で、各点の流れの方向も側壁にほぼ平行であつ



図一3 3mm φ 流速計検定曲線

た検定曲線の1例からもわかるように、低流速で検定曲線が曲ることである。図一3はかなり流速の大きいところまで直線にのらない場合の例であるが、この $N \geq 80$ では

$$U = 0.1239 N + 4.88 \quad \dots \dots \dots \quad (1)$$

(U : cm/s) の直線的関係が成立し、 $N \leq 80$ では滑らかな曲線が当てはまるので、次式の形でその関係を表わした。

$$U = -1.381N^{1/4} + 2.615N^{1/3} + 0.0176N^{1/2} + 0.0937 \quad \dots \dots \dots \quad (2)$$

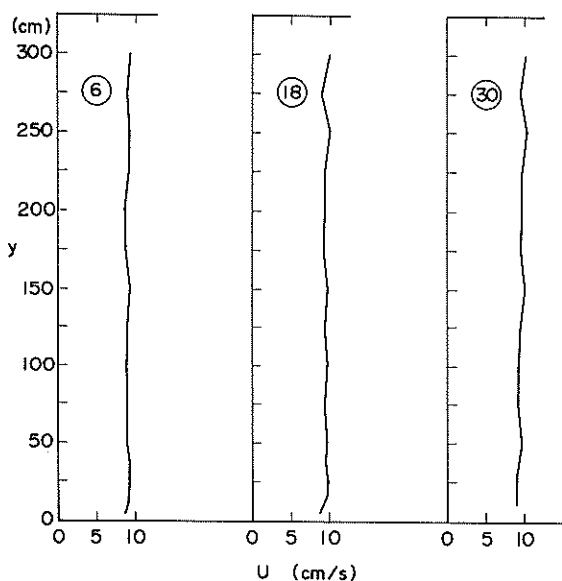


図-4 Case 1 の幅方向流速分布 ($z = 2 \text{ cm}$)

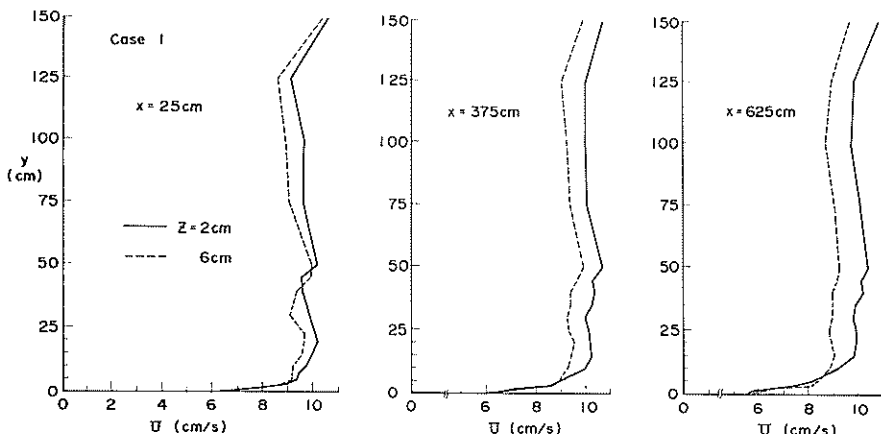


図-5 Case 1 の U 幅方向分布

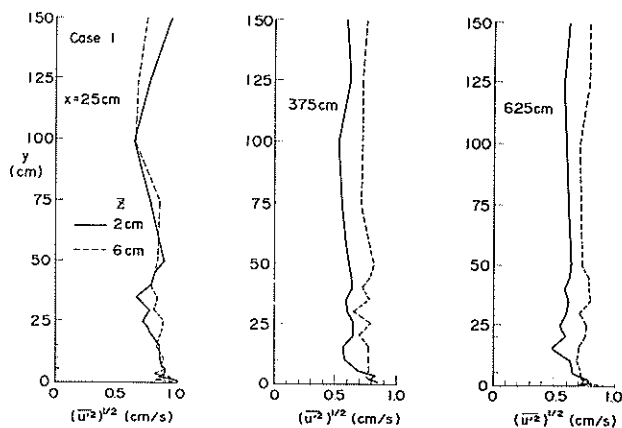
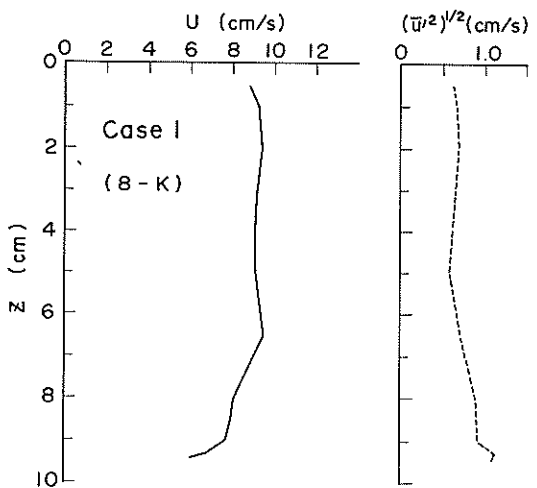


図-6 Case 1 の $(\bar{u}'^2)^{1/2}$ 幅方向分布

た。図-5は後で使う目的のため、3mm ϕ の流速計を使ってCase 1の3つの断面において $z = 2 \text{ cm}$ および $z = 6 \text{ cm}$ で測定した側壁の近傍での幅方向の流速分布である。側壁上の横方向の境界層の厚さは、 $z = 2 \text{ cm}$ の方が $z = 6 \text{ cm}$ よりやや大きめであるがそれほどの差ではなく、 $x = 25 \text{ cm}$ の断面における境界層の厚さはほぼ10 cm程度である。図-6には図-5の測定で同時に求められた流速の変動成分 $(\bar{u}'^2)^{1/2}$ の値を示しているが、 $x = 25 \text{ cm}$ では2つの水深でほとんど差はなく、 x が大きくなると側壁の近くを除いて $z = 6 \text{ cm}$ の方が乱れはやや大きくなることがわかる。

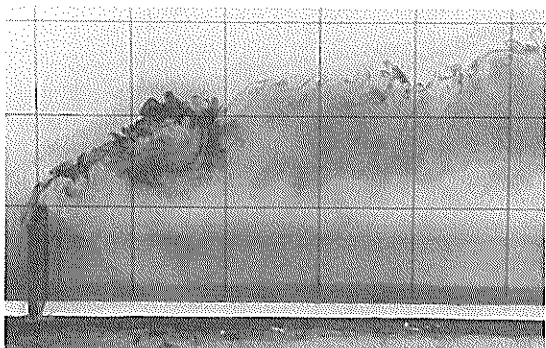
図-7には、同じく3mm ϕ の流速計で測定した、Case 1における $x = y = 50 \text{ cm}$ の点での流速の鉛直分布と、同時に求められた $(\bar{u}'^2)^{1/2}$ の分布を示しているが、底面の近くでは底面の影響で流速はやや小さくなり、乱れはやや大きくなっている。



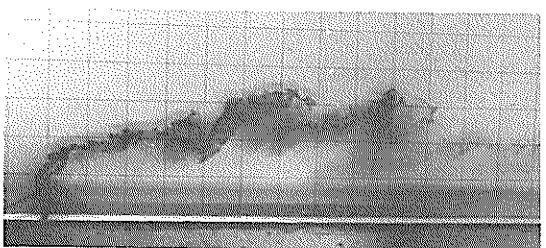
図一7 Case 1 の U および $(\bar{U}^2)^{1/2}$ 鉛直分布(8-K)

3.2 流れの可視化による突堤の後流の観察

Case 2~4 では、色素としてメチレンブルー溶液を突堤の上流側の側面付近の水面にスポットで静かに注入し、流れの様子を天井から写真にとった。写真一2(a), (b), (c)は Case 4, 写真一3(a), (b)は Case 2, 写真一4(a), (b)は Case 3における撮影例である。写真一2の3枚の



写真一4(a) Case 3



写真一4(b) Case 3

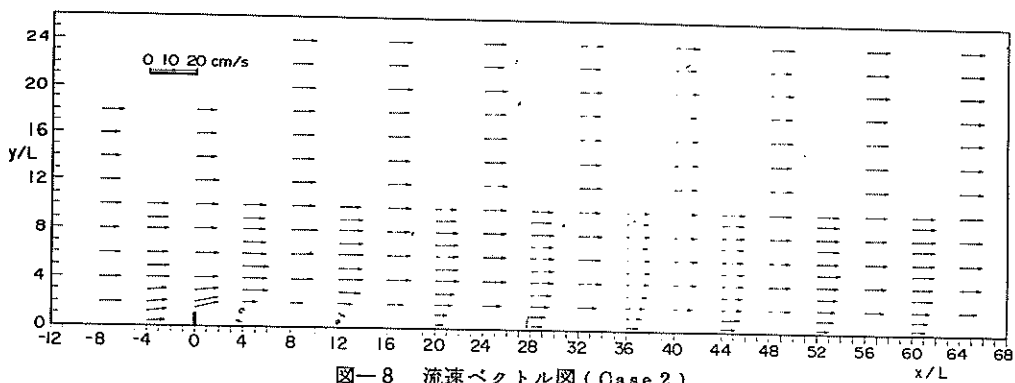
写真是色素の流れを数秒おきにとったもので、Case 4における突堤の先端からのはく離うずの形や流れの変化の様子をある程度よく表わしている。ただし色素はいろいろな流れ方をするので、写真一2(b)に見られるような大きなうずがいつも生じるわけではなく、ここに示したのはその1例にすぎない。また写真一2では、突堤の先端から出た色素はかなりの幅をもって流れているが、目視観察によると、この部分には小さなうずがつぎつぎに形成されて流下していくのがわかる。拡大してとった Case 2 における写真一3(a)や Case 3 の写真一4(a)などにはこの種の小さなうずが少し見られる。これらのうずは、突堤の先端からのはく離流線(Free streamline)の外側と内側とで横方向に大きなせん断力が働き、その結果生じたものである。なおこれらのうずは、流れの中におかれた垂直平板(Splitter plateなし)の後方に形成されるカルマンうずとは本質的に異なるが、それについては後の 3.5 で触れる。

3.3 平均流速の分布

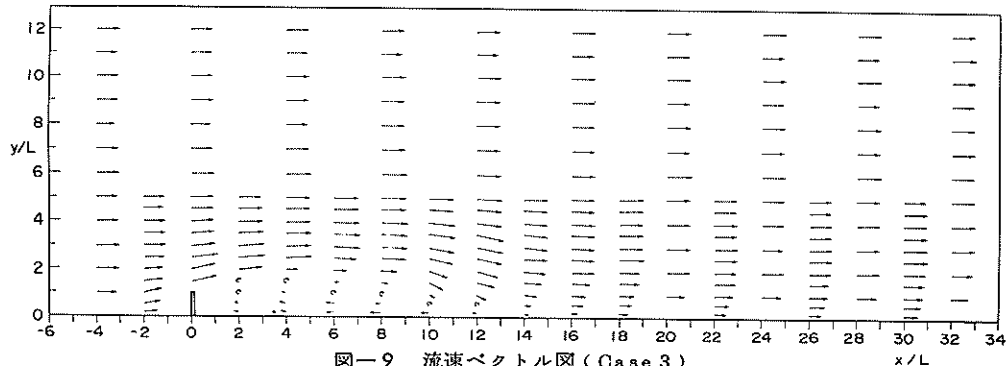
前にも述べたように、今回の実験における平均流速の測定は主として $26 \text{ mm } \phi$ のプロペラ流速計を使っているが、ここでは、主としてこの流速計を使って測定した平均流速の平面分布について述べる。

図一8~図一11には Case 2~Case 5 の各点の $z=2 \text{ cm}$ における流速の測定結果をベクトル的に示している。前にも述べたように流速計はその枠に付けた糸のぶれる平均の方向に向けて設置しており、その方向は同時に目視でスケッチしておいてこれらの図を作成したものである。図一8~10は測定部の全範囲での流速値を表わしているが、図一11に示した Case 5においては、突堤から離れたあまり流れが変化しない部分での測定は省略している。図中の丸い矢印は、そこでの流れが小さいかあるいは正・逆に反転しているかしてプロペラでは測定できなかつたことを示している。なお突堤の近くでは、次に示す U/U_0 の計算のため、これらの図に示した以外の点においても測定を行っているが、繁雑になるのでそれは省略してある。これらの図から、突堤の下流側に生じる反流域の大きさやおよその流れの向きなどがわかる。ただ注意すべきことは、図一10に示した Case 4 の場合には $\alpha/L = 1/7$ の断面が図一に示した測定部の最下流端(断面40)に相当していることで、このためこの付近の流況には時間的に少し変動が見られた。

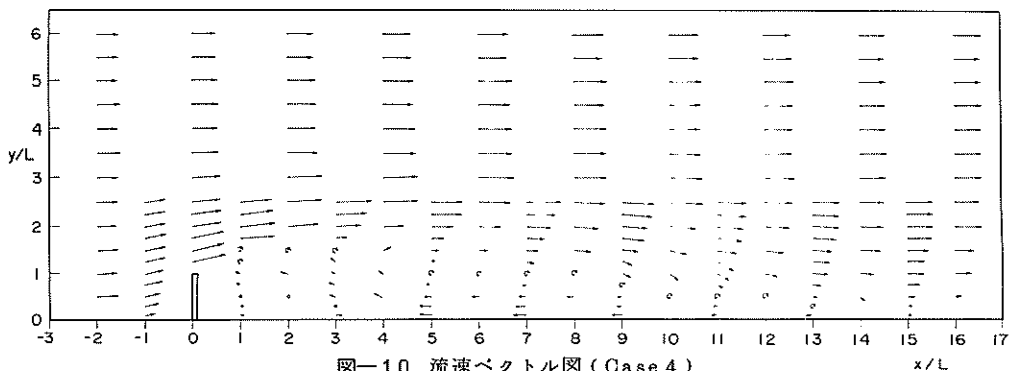
ここで参考のため、 $3 \text{ mm } \phi$ のプロペラ流速計で測った Case 2~Case 5 における流速の鉛直分布の例を図一



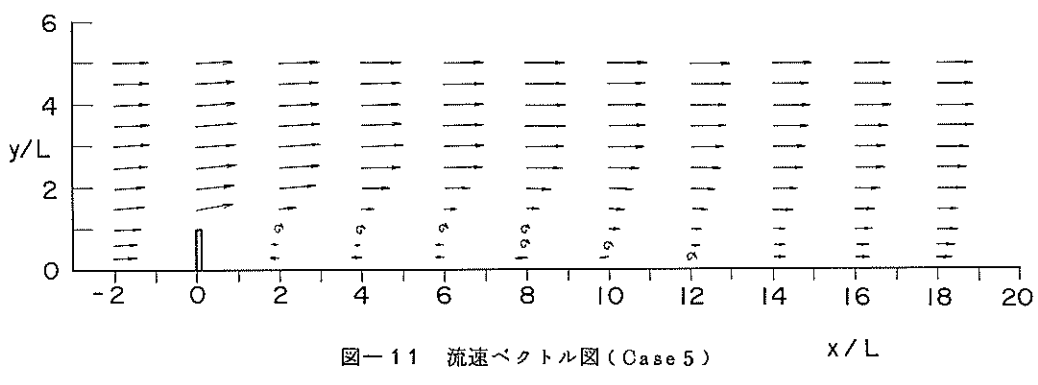
図一8 流速ベクトル図 (Case 2)



図一9 流速ベクトル図 (Case 3)



図一10 流速ベクトル図 (Case 4)



図一11 流速ベクトル図 (Case 5)

12~15に示す。これらの図にはそれぞれ対応する3点、すなわち①は $x/L=2$, $y/L=2.5$, ②は $x/L=4$, $y/L=3$ (Case 5だけは $y/L=3.5$), ③は $x/L=8$, $y/L=2$ の各点における鉛直分布を示しており、②と③について横座標をそれぞれ10 cm/sづつ右へずらしてかいてある。図-12~15の鉛直分布をみると、各ケースとも①と②の点については流速の値は突堤のない

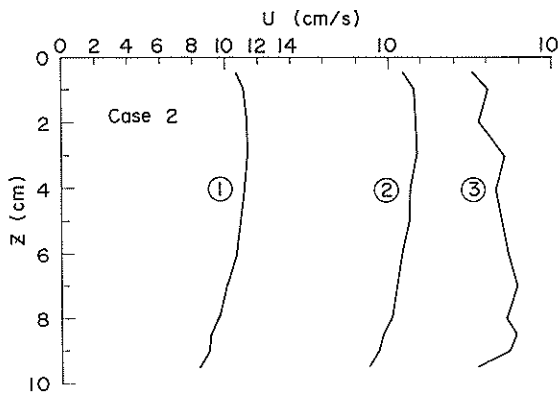


図-12 流速 U の鉛直分布 (Case 2)

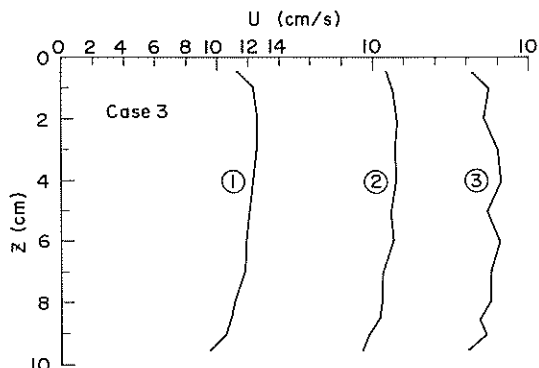


図-13 流速 U の鉛直分布 (Case 3)

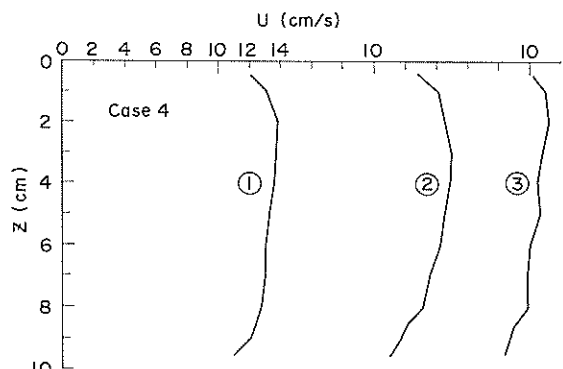


図-14 流速 U の鉛直分布 (Case 4)

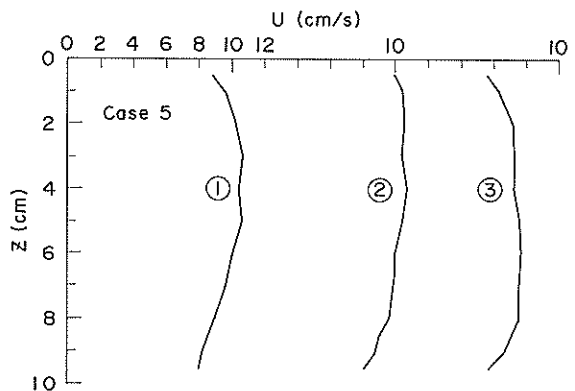
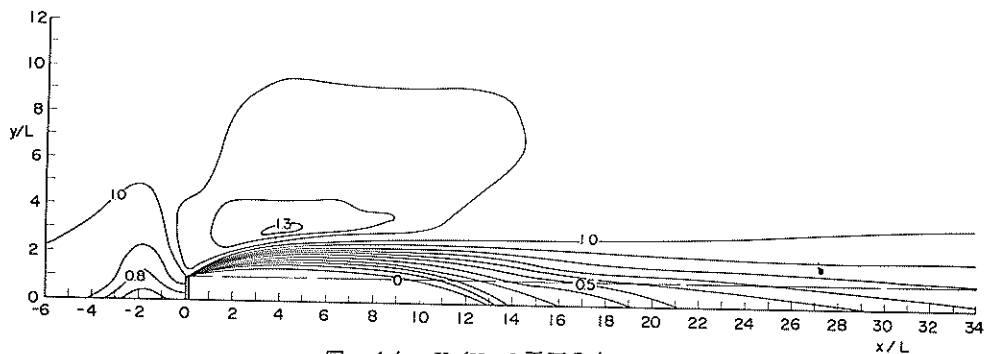


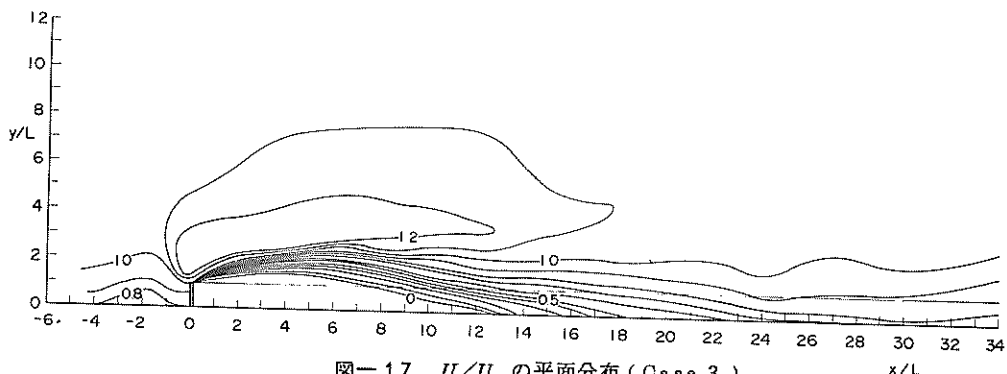
図-15 流速 U の鉛直分布 (Case 5)

Case 1の場合(図-7参照)より大きいが、その分布形はあまり変わらない。これに対し③の点では鉛直方向の平均流速は他の2点より小さくなるが、底面近くでの流速値は相対的にやや増加の傾向を示している。これは突堤から出た乱れの影響、すなわち横方向の混合作用を受けた結果と考えられ、これと似た現象は深い水深をもつ急潮流の海峡での流れの模型実験においても見い出されている⁹⁾。なお③での乱れが①や②よりもはるかに大きいことは、後の図-20~23の結果からもよくわかる。

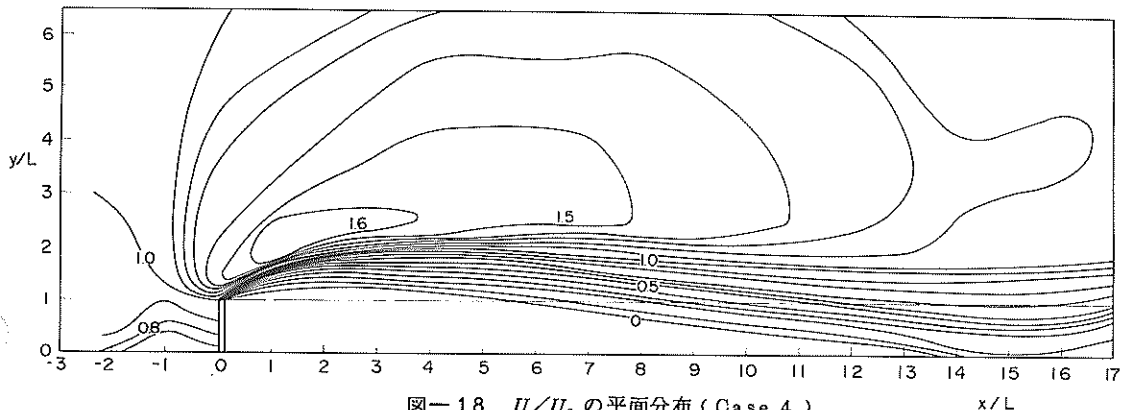
次に突堤の長さ、すなわち模型ひずみを変えた各ケースにおける流れのパターンを比較するため、各ケースごとに、各点の流速値 $U(x, y)$ とCase 1の同じ点の流速値 $U_0(x, y)$ との比 U/U_0 を計算した。図-16~19には各ケースにおける U/U_0 の平面分布のContour lineを示している。これらの図からケースごとの流速の平面分布を比較しようとするとき、まず目につくことは、 $L=50\text{ cm}$ のCase 2(図-18)において U/U_0 が部分的に1.6程度まで大きくなることである。一方、突堤の長さがより短いCase 3やCase 2では高だか $U/U_0 \neq 1.3$ にしかならず、もっとも短いCase 5では最大でも $U/U_0 \neq 1.19$ 程度にすぎない。このように実験ケース間で U/U_0 の最大値にやや違いがでた理由については、今回の実験データだけからは断定できないが、これは模型ひずみの違いが原因であるというよりも、むしろ風洞実験におけるBlockage effectと同様に側壁の影響によるのではないかと推定される。この推論は、図-18の $U/U_0 \leq 1.0$ の範囲のContourが図-16や図-17と比べて岸側へ押しつけられたような形をしていることからも支持される。Case 4を除いた他の3ケースのContourを比較すると、 $U/U_0 > 1.0$ の部分を除いてあまり差は見られない。



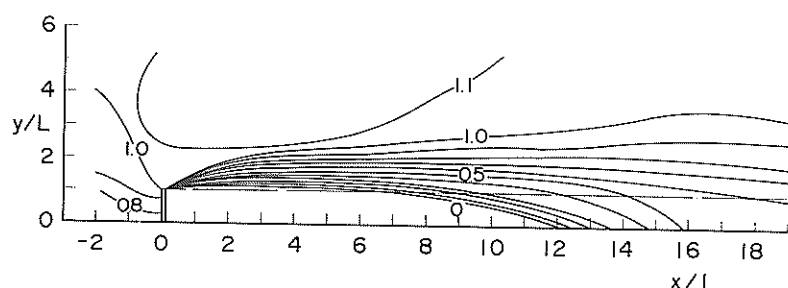
図一 16 U/U_0 の平面分布 (Case 2)



図一 17 U/U_0 の平面分布 (Case 3)



図一 18 U/U_0 の平面分布 (Case 4)



図一 19 U/U_0 の平面分布 (Case 5)

表一2 突堤の後流域の広さを表わす各種の代表長

Case	L (cm)	x_b/L	$x_{0.5}/L$	x_f/L
5	5.0	12.2	14.3	(7.0)
2	12.5	13.4	16.0	9.5
3	25	13.5	12.5	7.6
4	50	14.0	11.3	5.4

突堤の後方での反流域の大きさを表わすため、岸($y=0$)での再付着点までの距離 x_b を色素を流して調べてみると表一2の第1欄のようであった。また岸から突堤の長さだけ離れた位置($y=L$)で $U/U_0=0.5$ および $U/U_0=0$ となる突堤からの距離を $x_{0.5}$ および x_f と定義し、これらの値を図一16~19から読み取ると表一2の第2, 3欄のようになる。ただし、図一16~19における $U/U_0=0$ のContourはあまり正確ではないので、 x_f の値は一応の参考データとしておく。

表一2の結果をみると、Case 5の $x_{0.5}$ および x_f が他のケースでの傾向とやや異なる値を示すが、全体として眺めると、 $x_{0.5}/L$ と x_f/L は突堤の長さと共に小さくなる傾向があるのに対し、 x_b/L は逆に L と共にやや大きくなる傾向を示している。

ところで河岸から直角に出した長さ L の非越流型不透過水制について、秋草ほか²⁾は理論と実験の結果から $x_b/L \approx 1.4.5$ になるとしている。これに対し細井ほか³⁾による幅70 cmの水路で $L=15, 25$ cmとした実験および理論では、それぞれ $x_b/L \approx 1.3.5, 1.0.5$ と L と共に x_b/L が減少するという結果がえられており、この傾向は表一2の x_b/L とは逆になっている。

一方、従来風洞で行われている高さの垂直平板後方の風の実験において見い出されている再付着点までの距離 x_b は、Arie & Rouse⁵⁾による一様風速分布の場合には $x_b/h \approx 1.6.8$ と今回の結果より少し大きいが、Good & Joubert⁷⁾による乱流境界層の中におかれた垂直平板の実験では $x_b/h \approx 1.3.3$ と今回と近い値がえられている。この2つの風洞実験における x_b の値の差が、平板前面での風速分布の違いにもとづいているものと考えると、今回の実験で突堤の長さと共に x_b/L が増加する傾向にあるのは説明できる。今回のCase 4の条件は、突堤の長さが3.1で述べた側壁上の境界層の厚さよりもはるかに大きいので、自由表面と底面の影響を無視するとArie & Rouse⁵⁾の実験条件にかなり近いと考えられるが、Case 4の $x_b/L = 14.0$ という結果はArie

& Rouseの値に比べて20%も小さい。このことから判断すると、Case 4の x_b/L の値は側壁の影響のため少し小さくなっているものと考えられ、このことは上に述べた細井ほか³⁾による水制の実験結果からも支持される。すなわち、側壁の影響が入らないようにもっと幅の大きい水槽で実験を行った場合には、 $L=50$ cmのCase 4における x_b/L の値はもっと大きくなることが予測される。一方、その場合でもCase 5における x_b/L の値は変化しないはずのものであるから、 x_b/L の値は突堤の長さ、すなわち模型歪みの違いにより、表一2に見られるよりもっと変化すると考えられる。

突堤後方のはく離うずの大きさは、流れの場の乱れが大きいほど(運動量の拡散が大きいので)小さくなるはずであり、これが上に述べた2つの風洞実験での結果の違いの大きな原因と考えられるが、今回の実験で突堤の長さが短いほど x_b/L の値が小さくでた根本的な原因としては、次節に述べるように模型のスケールが小さくなつても、それほど乱流強度は小さくならないことがあげられる。

3.4 突堤の後流における乱れの特性

今回の実験では、2.3で述べたように流速の変動成分を3 mm ϕ の超小型プロペラ流速計を使って測定してみた。この流速計はほぼ1.0 Hzより高い周波数成分に対しては応答性が急に低下するので、えられた乱れの測定値は近似的なものである。しかし後で示す流速変動のスペクトル(図一29~32参照)からわかるように、突堤の影響によって生じる乱れは、1.0 Hzよりはるかに低い周波数領域で卓越しており、したがって今回の方法で測定した突堤の後流における流速の乱れ成分($\overline{w^2})^{1/2}$ の値の近似度はかなり良いものと考えられる。

図一20~23に、各ケースのそれぞれ対応する $x/L = 2, 6$ および10の3断面において $z=2$ cmで測定した流速変動成分($\overline{w^2})^{1/2}$ および同時に計算された平均流速 U の幅方向の分布を示す。これらの図から、一般に突堤の後流において乱れ($\overline{w^2})^{1/2}$ が最大になる点は、流速 U が最大になる位置より岸側にずれることがわかる。また突堤に近い断面では突堤の先端より少し沖側のごく狭い範囲で乱れは大きな値をもつが、 x が増大するに伴つてその位置は沖側へずれ、乱れの大きい範囲は広がることがわかる。ただ $x/L = 1.0$ の断面で乱れが最大になる点は、 $x/L = 6$ の断面に比べて少し岸側に戻っている。

図一20~23からケースごとの乱れの分布を比較することができるが、もっとわかりやすいように、 $x/L = 2,$

*) これは風洞の中央部に長さ2mの平板を風に直角におき、その中央の風下側にSplitter plateを固定して、上下対称の条件で実験を行ったものである。

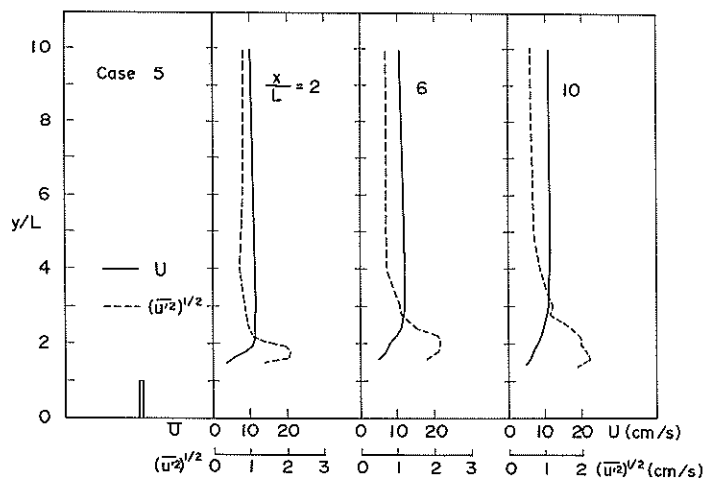


図-20 $(\bar{u}'^2)^{1/2}$ と U の幅方向分布 (Case 5)

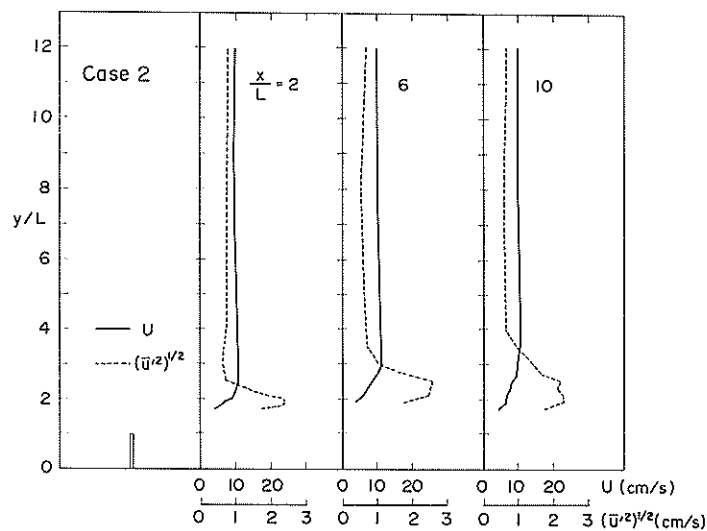


図-21 $(\bar{u}'^2)^{1/2}$ と U の幅方向分布 (Case 2)

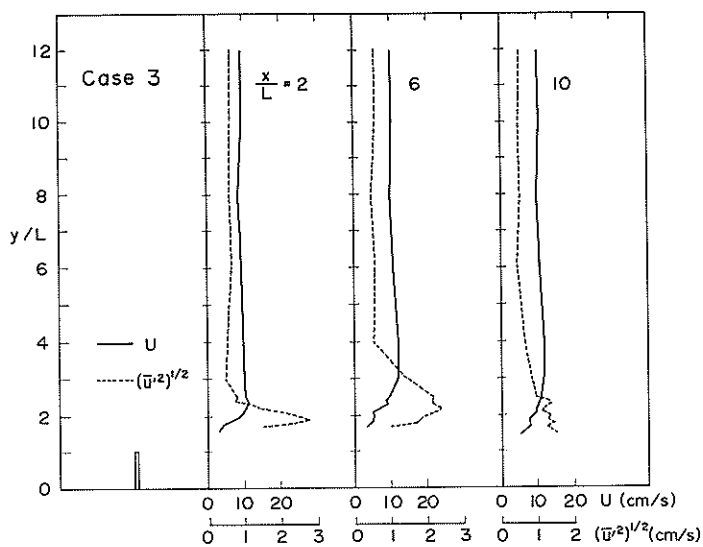


図-22 $(\bar{u}'^2)^{1/2}$ と U の幅方向分布 (Case 3)

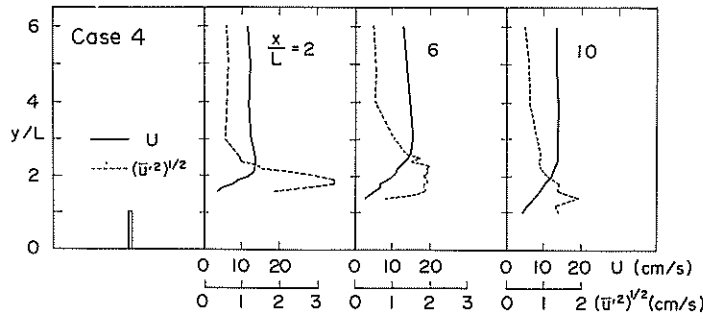


図-23 $(\bar{u}'^2)^{1/2}$ と U の幅方向分布 (Case 4)

6, 10 の各断面ごとに、乱れが大きい $y/L = 1 \sim 4$ の範囲について全ケースの $(\bar{u}'^2)^{1/2}$ の分布をまとめて示すと図-24～26のようになる。これらの図から、 $x/L = 2.0$ の断面では L の大きいケースほど $(\bar{u}'^2)^{1/2}$ の最大値も大きいが、 x の増加と共にその傾向はくずれ、 $x/L = 6.0$ および $x/L = 10.0$ においては Case 2 が全体的にみて一番大きな乱れを持つようになることがわかる。この乱れに関しては Case 2～4 が系統的な変化を示すのに対し、Case 5だけが少し違った傾向を示している。その理由は明らかではないが、1つの可能な説明として、

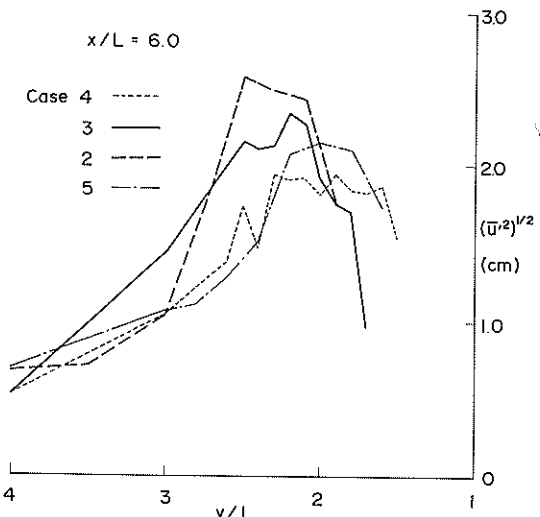


図-25 $(\bar{u}'^2)^{1/2}$ 分布の比較 ($x/L = 6.0$)

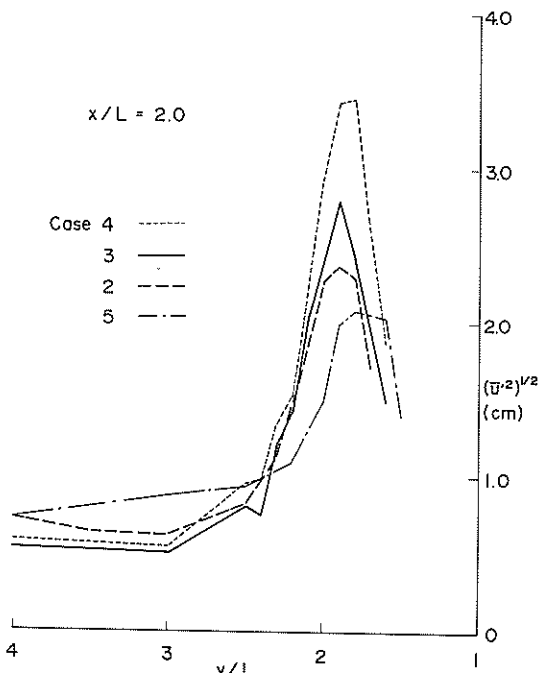


図-24 $(\bar{u}'^2)^{1/2}$ 分布の比較 ($x/L = 2.0$)

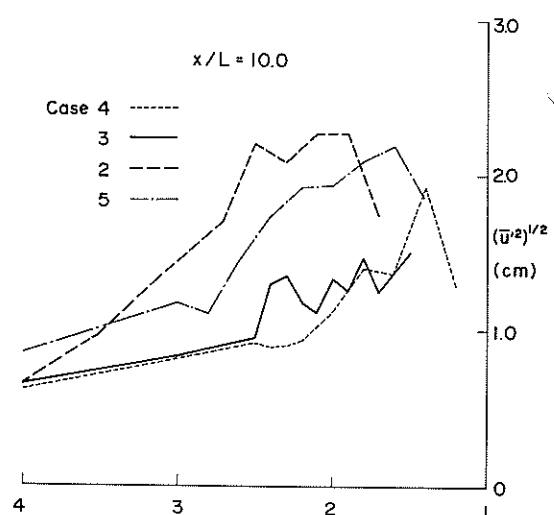


図-26 $(\bar{u}'^2)^{1/2}$ 分布の比較 ($x/L = 10.0$)

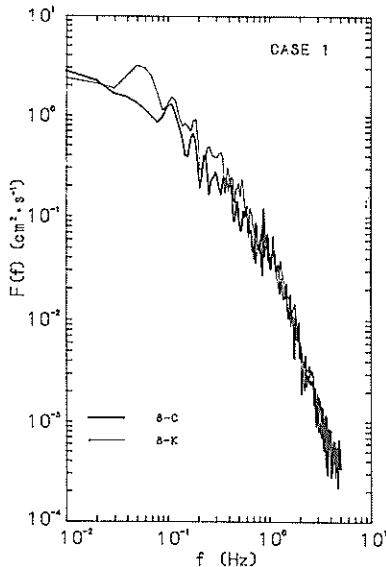


図-27 u' のスペクトル (Case 1, 断面 8)

h がもっとも短い Case 5 における突堤の後流は、側壁上の境界層の影響を強く受けているのではないかということが考えられる。

なお、乱れの測定時には、流速計の出力電圧はペンレコーダーにも同時に書きせ、乱れの場所的な変化とプロペラの回転をモニターした。これにより、各断面ごとに不規則な乱れが一番強いと思われた(各ケースに共通の)代表点を1点えらび、そこではデータを通常の2倍(6分40秒)だけとって次に示すように乱れのスペクトルを計算したが、実際の $(\bar{w}^2)^{1/2}$ の計算値は、その点より少し岸側で最大値を示した。参考のために、検定曲線を使って計算された Case 4 の主要な点における流速記録を後の付録に示す。ただしこの場合、流速計の特性としてほぼ 3 cm/s 以下の値はあまり正しくはなく、また検定曲線は図-3 のものとは違っていたが、アンプ出力は一定電圧だけさ上げされていて、流速値がほぼ 1.6 cm/s 以下にはならない構造になっていた。

次に流速のパワースペクトルによって乱れの性質を調べてみる。まず最初に Case 1 についての測定例で、図-27 には $x = 0.5 \text{ m}$ の断面における $y = 0.5 \text{ m}$ と 2.5 m の2点(8-Kと8-C)でのスペクトル、図-28 には $x = 3.5 \text{ m}$ の2点(20-Kと20-C)におけるスペクトルを示す。このように Case 1 では、幅方向でスペクトルの相違はほとんどなく、 $x = 3.5 \text{ m}$ でのスペクトルの方が $x = 0.5 \text{ m}$ のものよりも全体的にややスペクトル密度が減少するが、それほどの差は生じない。

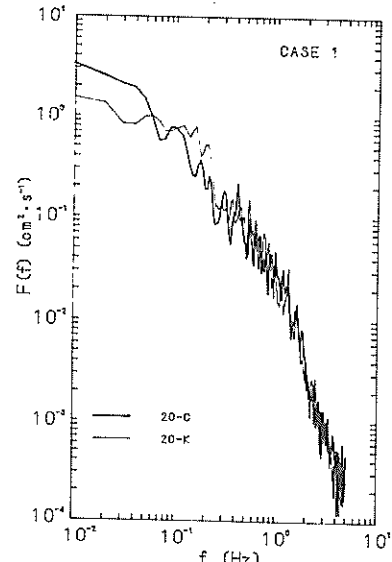


図-28 u' のスペクトル (Case 1, 断面 20)

図-29～32には Case 2～5 の各ケースにおいて測定した、 $x/L = 2, 6, 10$ の各断面における代表点、および $x/L = 2$ の断面のO点($y = 2.5 \text{ m}$)の合計4点でのスペクトルを示す。これらの図で $x/L = 2$ のC点におけるスペクトルは Case 1 のものにほとんど近いので比較のために入れたものである。これらの図から、突堤の影響で生じる乱れは 1.0 Hz よりもかなり低い周波数領域で卓越しており、各ケースにおいて x の増加と共に \bar{w}^2 が減少するときは一般に高い周波数成分($f < 1.0 \text{ Hz}$ ではあるが)ほど早く減衰することがわかる。

次に図-29～32のスペクトルについて、各断面ごとに全ケースの結果をまとめて示したのが図-33～35である。図-31は $x/L = y/L = 2.0$ の点についてのスペクトルであるが、ほぼ $0.2 \sim 0.3 \text{ Hz}$ より下のごく低い周波数成分のパワーは突堤の長さ h が長いほど大きく、これは \bar{w}^2 の値の大きさとも対応していることがわかる。図-34は $x/L = 6.0, y/L = 2.5$ (Case 5 だけは 2.6) の点について比較したものである。この点については図中にも示してあるように \bar{w}^2 の大きさが Case 2 > Case 3 > Case 4 と突堤の長さとは逆の順になっているが、図-34からこの \bar{w}^2 の値の違いが低周波数部分のスペクトル密度の差に対応していることがわかる。図-35は $x/L = 10.0$ の断面についての結果で、 y/L の値は図中に示したように少しケースごとの差があるが、この断面についても前図の $x/L = 6.0$ の場合について述べた傾向がさらに顕著に現われていることは間違いない。

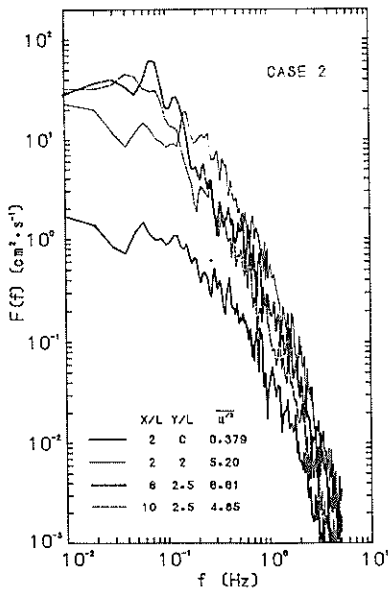


図-29 u' のスペクトル (Case 2)

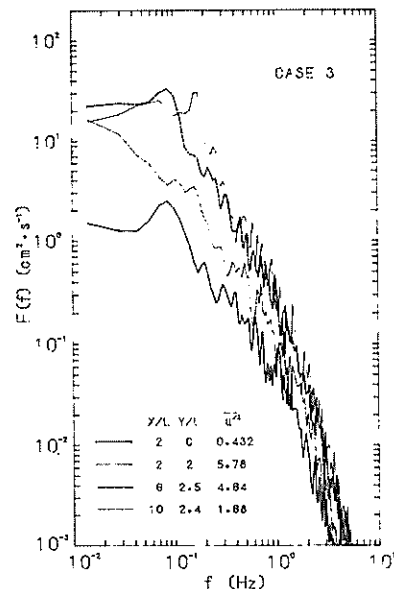


図-30 u' のスペクトル (Case 3)

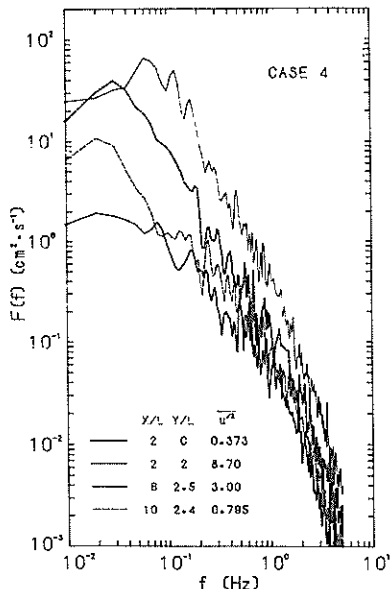


図-31 u' のスペクトル (Case 4)

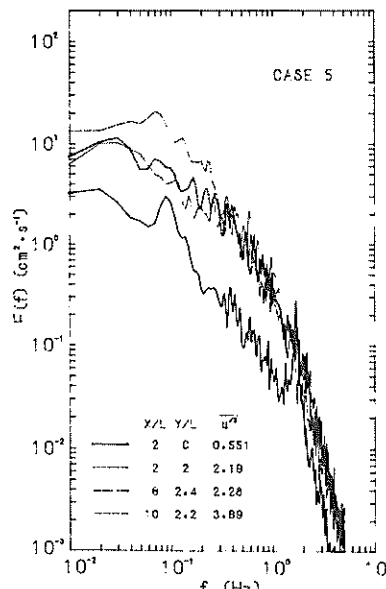


図-32 u' のスペクトル (Case 5)

今回の突堤下流の乱れの場合に、通常の一様な乱流場に対する理論が適用できるかどうか疑問ではあるが、上に述べた乱れのスペクトルの測定点について計算したオイラー流の時間スケール T_E 、オイラーフローの拡散係数 K_{Ez} などを参考のために表-3に示す。 T_E と K_{Ez} は次式により求めている。

$$T_E = \int_0^\infty R_{u_E}(\tau) d\tau \quad \dots \dots \dots \quad (4)$$

$$K_{Ez} = \bar{u}^2 \int_0^\infty R_{u_E}(\tau) d\tau \quad \dots \dots \dots \quad (5)$$

ただし $R_{u_E}(\tau)$ は1点における流速変動の自己相関係数であり、その積分値は $R_{u_E} = 0$ になるところまでで求めている。G.I. Taylor による本来の拡散係数 K_z は

$$K_z = \bar{u}_L^2 \int_0^\infty R_{u_L}(\tau) d\tau \quad \dots \dots \dots \quad (6)$$

で定義され、ここに u_L 、 R_{u_L} は1つの粒子の運動に伴ったラグランジエ流の流速変動値とその自己相関係数である（たとえば日野¹⁰⁾参照）。一様な乱れの場合には $R_{u_E}(\tau)$ と $R_{u_L}(\tau)$ の間には相似の関係が見い出されている¹¹⁾。この場合の空間スケールと時間スケールの比

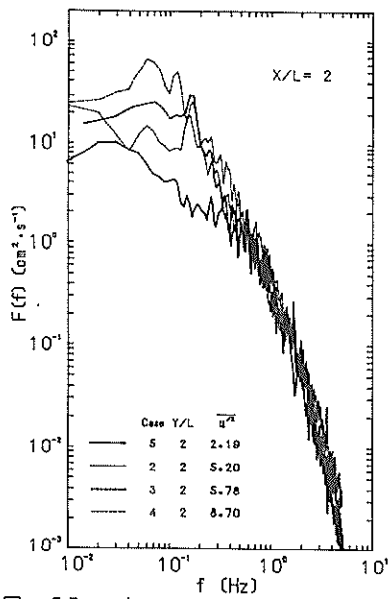


図-33 u' のスペクトル ($x/L = 2.0$)

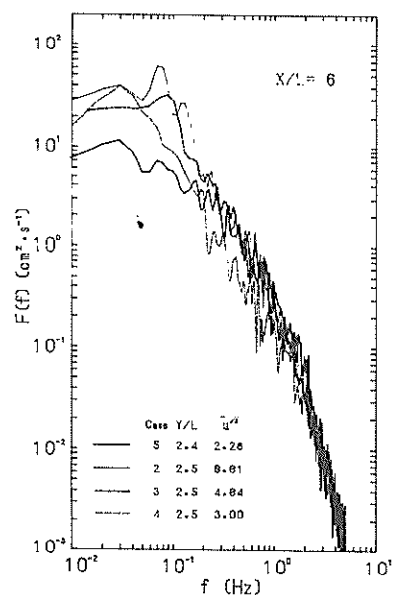


図-34 u' のスペクトル ($x/L = 6.0$)

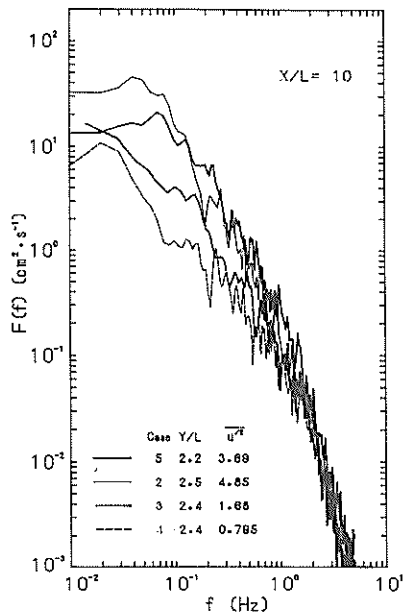


図-35 u' のスペクトル ($x/L = 10.0$)

β がわかれば、本来の拡散係数 K_x はオイラー流の拡散係数 K_{Ex} から

$$K_x = \beta K_{Ex} \quad \dots \dots \dots \quad (7)$$

によって求められる。 β についてもいろいろな研究があるが(村上・亀山¹²⁾参照)，今回の実験の場合における β の値の推定はむづかしいので、本資料においては K_{Ex} の値を示すにとどめる。

表-3に示した L_E は

$$L_E = U \cdot T_E \quad \dots \dots \dots \quad (8)$$

の関係を使って求めた長さのスケールであり、右端の欄に突堤の長さで無次元化した相対的な長さのスケールを示している。ラグランジエ的な長さのスケール L_L は

$$L_L = \beta L_E \quad \dots \dots \dots \quad (9)$$

であるから、 β の値が明らかでない限り各ケースでの乱れのスケールや拡散係数の厳密な比較はできない。しかし各ケースで β の値があまり変わらないものと仮定すると、Case 5 や Case 2 での相対的な拡散係数 K_{Ex}/L や相対的な長さのスケール L_E/L は Case 3, 4 に比べてかなり大きいことがわかる。

以上述べてきた乱れの特性についての結果をまとめると、突堤の後流域の乱れの性質は模型をひずませるとかなり変化し、ひずみが大きいほど突堤後方の乱れは強調された形で現われる傾向があるといえる。この模型ひずみの影響は、後流域での乱流拡散の実験などの場合、さらに大きな問題となることが予想される。

3.5 参考データ

これまで $z = 2$ cm の深さについての測定結果だけについて述べてきたが、実験結果に及ぼす測定水深の影響を調べるために、ここでは $3\text{ mm}\phi$ の流速計による $z = 2$ cm と $z = 6$ cm の水深での若干の測定結果を比較してみる。図-36~40には Case 2 における $x/L = 2, 6, 10, 30, 50$ の各断面における壁の近くでの幅方向の流速および乱れの分布を示している。大まかに見て $z =$

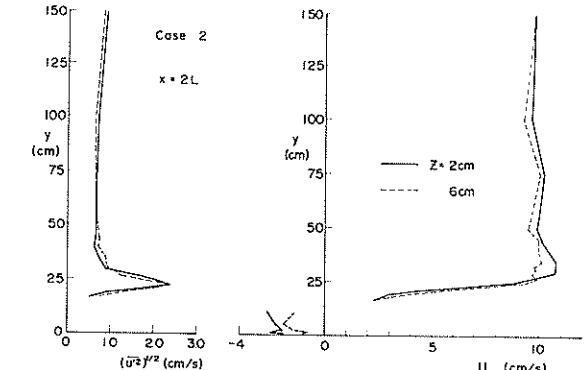
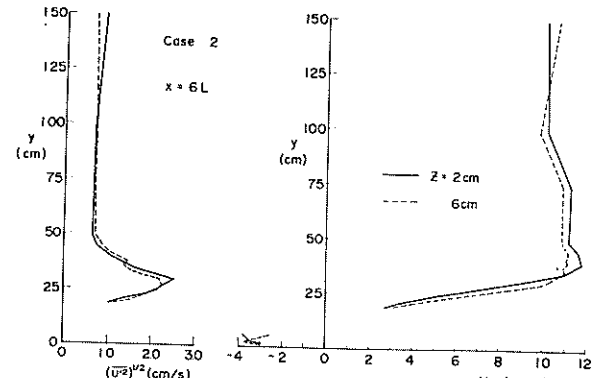
表-3 各ケースの乱れの特性値

Case	Run No.	x/L	y/L	U (cm/s)	\bar{w}^2 (cm ² /s ²)	T_E (s)	K_{Ex} (cm ² /s)	L_E (cm)	L_E/L
5	Y0221	2	(C)	1.043	0.551	1.26	0.699	1.32	2.64
	Y0232	2	2	1.065	2.19	0.975	2.13	1.04	2.07
	Y0251	6	2.4	1.063	2.28	0.993	2.26	1.06	2.11
	Y0268	10	2.2	8.62	3.69	1.07	3.97	9.28	1.85
2	Y0074	2	(C)	9.30	0.379	0.893	0.339	8.31	0.66
	Y0082	2	2	8.70	5.20	0.690	3.58	6.00	0.48
	Y0099	6	2.5	8.65	6.61	1.58	1.05	1.37	1.09
	Y0115	10	2.5	8.25	4.85	2.07	1.01	1.71	1.37
3	Y0023	2	(C)	9.53	0.432	1.05	0.455	1.00	0.40
	Y0033	2	2	8.69	5.78	0.959	5.54	8.33	0.33
	Y0043	6	2.5	9.73	4.64	1.53	7.12	1.49	0.59
	Y0063	10	2.4	10.59	1.68	2.55	4.28	2.70	1.08
4	Y0125	2	(C)	11.98	0.373	1.17	0.439	1.41	0.28
	Y0134	2	2	11.71	8.70	1.29	1.13	1.52	0.30
	Y0148	6	2.5	14.11	3.00	2.32	6.99	3.28	0.65
	Y0168	10	2.4	13.52	0.795	2.82	2.24	3.81	0.76
1	Y0179	(8-C)		9.20	0.351	2.03	0.714		
	Y0184	(8-K)		9.00	0.478	1.34	0.645		

註) ()の中は図-1の格子点表示による。

2 cm と $z = 6$ cm の測定結果に大差はないといえるが、 $x/L = 2, 6, 10$ の各断面の幅方向に流速が急激に変化しているうす領域において、ならびに $x/L = 30, 50$ の断面の岸の近くにおいては、 $z = 6$ cm での流速の方が $z = 2$ cm よりやや大きくなっている。これは図-12の Case 2 の鉛直分布の③に見られた傾向とも似ており、横方向に大きなせん断力が働いている場合の流れの特徴のようである。

図-41は、Case 2における $x/L = 2.0, 30, 50$ の3断面の側壁の近くについて、Case 1との流速の比 U/U_0 を $z = 2$ cm と $z = 6$ cm について求めて比較したものであるが、それぞれの断面について、 U だけを比較した場合と大差のない結果となっている。この図の結果で興味深いのは、 $x/L = 30$ および 50 の断面で、幅方向の距離と共にいったん U/U_0 の値が減少し、やがてまた増加して 1.0 に近づく傾向を示すことである。これは、再付着後の側壁上の横方向の境界層の性質が、通常の2次元境界層の場合と同様にはじめは側壁に接したごく狭い範囲から、 x の増加と共に y 方向にその範囲を広げながら、突堤がないときの境界層の性質に戻って行き、一方側壁から離れたところの流れは突堤の影響をあまり受

図-36 U と $(\bar{w}^2)^{1/2}$ の幅方向分布 (Case 2, $x/L = 2$)図-37 U と $(\bar{w}^2)^{1/2}$ の幅方向分布 (Case 2, $x/L = 6$)

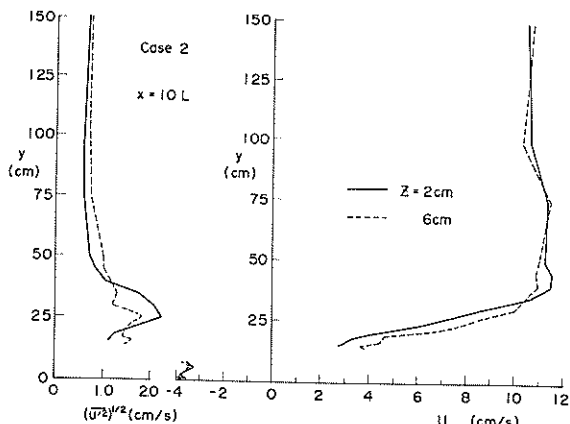


図-38 U と $(\bar{u}^2)^{1/2}$ の幅方向分布 (Case 2, $x/L = 10$)

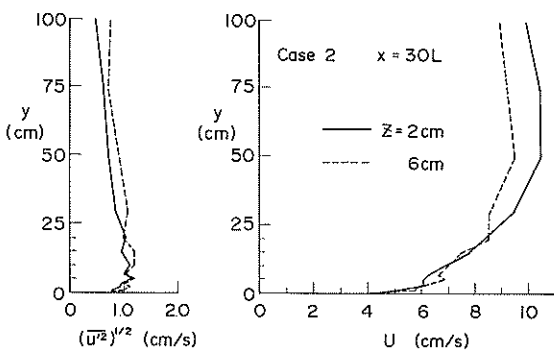


図-39 U と $(\bar{u}^2)^{1/2}$ の幅方向分布 (Case 2, $x/L = 30$)

けないという 2 つの事実を反映しているものと考えられる。

流れの中におかれた円柱や垂直平板の後方には、いわゆるカルマンうず（渦）と呼ばれる周期的なうずが生じることがよく知られている（たとえば日野¹⁰⁾参照）。今回の突堤の後流の実験は、流れの中におかれた垂直平板の下流側に Splitter plate をつけた場合にほぼ相当することが予想されたので、本実験終了後、それを確認するための簡単な実験を行った。すなわち、水深と流量は本実験と同じに保ち、測定部の $z = 0$ の断面の幅方向の中央に、長さ $D = 25$ cm の平板を流れに直角におき、その下流側にいろいろな長さ l の Splitter plate をつけて後流の様子を観察したが、写真-5(a)～(d)にそのときの写真を示す。Splitter plate をつけない場合には、写真-5(a)に見られるように平板の両側から交互にうずが放出され、下流にきれいなカルマンうずが形成される。Splitter plate の長さ l をしだいに長くして行くと、

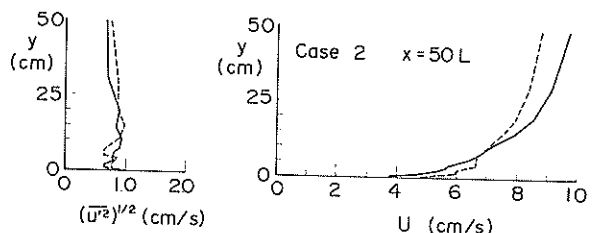


図-40 U と $(\bar{u}^2)^{1/2}$ の幅方向分布 (Case 2, $x/L = 50$)

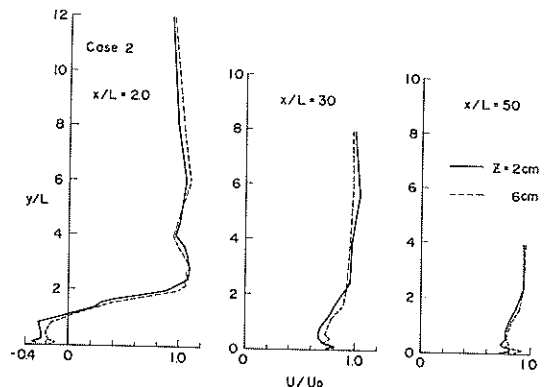


図-41 U/U_0 の幅方向分布

写真-5(b), (c), (d)からわかるように、うず相互の干渉がしだいに妨げられて(a)のようなカルマンうずは生じなくなる。写真-5(d)に見られる $l = 14D$ の場合の平板の後流は、写真-5(b)に示した Case 2 の場合の後流とあまり差は見られない。なお、 $l = 14D$ の場合の再付着点までの距離 x_b を測定してみると $x_b/(D/2) \approx 1.32$ であったが、この値も表-2 に示した Case 2 の結果によく一致している。

4. ま と め

突堤の潮流制御効果とそれに及ぼす模型ひずみの影響を調べるために、3.25 m (幅) × 10 m の測定部をもつ小型回流平面水槽を使い、岸から 1 本だけ出した突堤の長さを、模型ひずみの変化に対応するよう $L = 50, 25, 12.5, 5$ cm と変化させた実験を行い、その後流域での平均流速と乱れの平面分布を、大・小 2 つのプロペラ流速計を使って測定した。今回の実験結果から明らかになった主要な点をまとめるとほぼ次のとおりである。

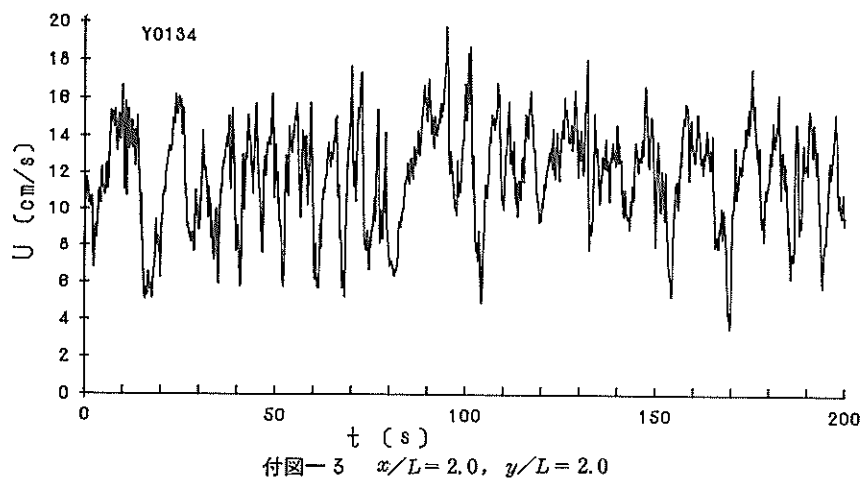
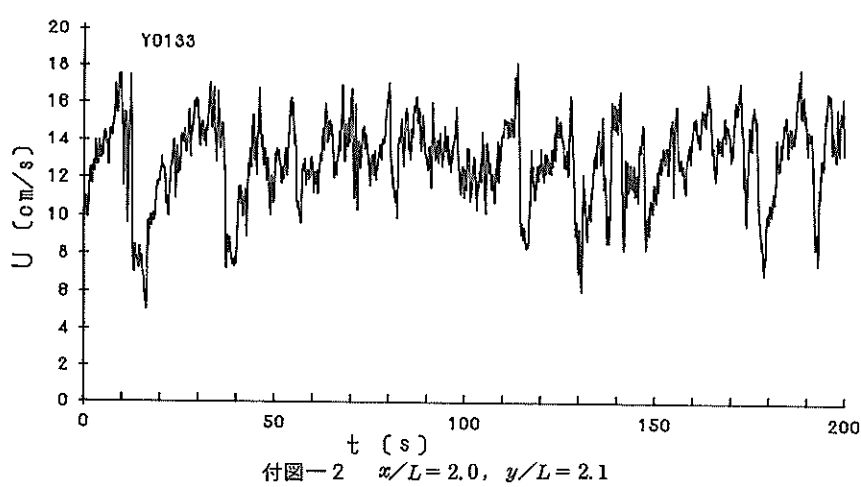
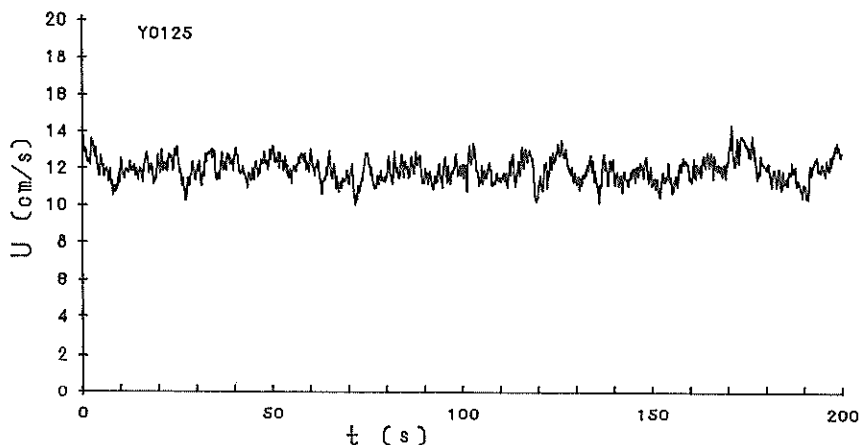
- (1) 各ケースごとに $z = 2$ cm で U/U_0 (U_0 : 突堤なしでの流速) の平面分布を比較したところ、 $L = 50$ cm のケースでの U/U_0 の Contour は他の L の短い

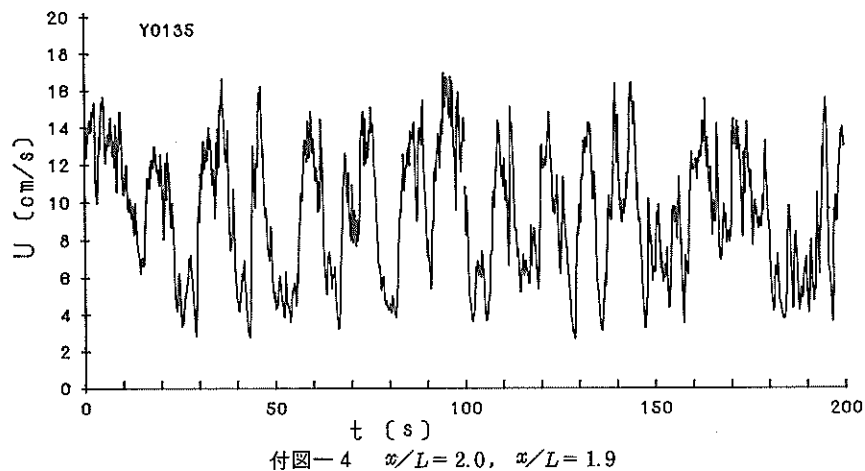
- ケースとは少し違っており、突堤の下流・沖側に U/U_0 が 1.6 以上にもなる領域が生じた。これは、この場合、側壁による Blockage 效果がかなりあるためではないかと推測されるが、この点については今後さらに確認する必要がある。
- (2) $L = 2.5, 12.5, 5.0 \text{ cm}$ の 3 ケースでの流れのパターンはかなり類似しており、この範囲では模型ひずみの影響はあまり認められなかった。
- (3) 突堤後方のはく離領域（反流域）の大きさを再付着点までの距離 x_b で表わすと、 x_b/L の値は $L = 5.0 \text{ cm}$ のケースでの $x_b/L \approx 1.2.2$ から、 $L = 50 \text{ cm}$ のケースでの $x_b/L \approx 1.4.0$ まで L と共に増加の傾向を示した。側壁の影響の入らないもっと理想的な条件の下ではこの差はさらに大きくなるものと推定される。すなわち模型ひずみが大きいほど x_b/L の値は小さくなる傾向のあることがわかる。
- (4) 突堤の後流域において乱れが最大になる点は、流速 U が最大になる点より岸側にずれる。また突堤の先端部のすぐ下流では自由流線付近の比較的狭い範囲に乱れが集中するが、下流に行くほどその範囲は拡がり、かつ乱流強度は減少する。
- (5) $x/L = 2, 6, 10$ の 3 断面で各ケースの乱流強度、乱れのスペクトルやオイラー流の乱れのスケールなどを調べた結果、突堤の後流域における相対的には等しい点での乱れの性質は、模型をひずませるとかなり変化し、ひずみが大きいほど $x/L = 6$ および 10 の断面での乱れは強調されて現われる傾向が認められた。
- 2) 秋草 熟、吉川秀夫、坂上義次郎、芦田和男、土屋和彦：水制に関する研究、土木研究所報告、107号、1961.
- 3) 細井正延、杉山錦雄、小沢克之：水制の水理に関する研究(II)、土木学会第 23 回年次学術講演会講演概要、II, p. 301-304, 1968.
- 4) 土屋昭彦、石崎勝義、丸山幾男：水制の水はね機能について、土木学会第 23 回年次学術講演会講演概要、II, p. 309-310, 1968.
- 5) Arie, M. & Rouse, H. : Experiments on two-dimensional flow over a normal wall, J. Fluid Mech., Vol. 1, p. 129-141, 1956.
- 6) 谷 信輝：模型防風垣の風洞実験、農業技術研究所報告、A-6, 80 p., 1958.
- 7) Good, M. C. & Joubert, P. N. : The form drag of two-dimensional bluff-plates immersed in turbulent boundary layers, J. Fluid Mech., Vol. 31, p. 547-582, 1968.
- 8) 佐藤昭二、加藤 始、木村久雄、池田高則：伊東海岸のレクリエーション海浜造成に関する模型実験、港湾技研資料、No. 318, 27 p, 1979.
- 9) 木村久雄、宮原英治、須藤 茂、柴山輝彦、浜田徳一：来島海峡潮流模型実験(第 1 報)、港湾技術研究所報告、第 10 卷、第 3 号、p. 3-66, 1971.
- 10) 日野幹雄：流体力学、理工学基礎講座 16、朝倉書店、1974.
- 11) Hay, J. S. & Pasquill, F. : Diffusion from a continuous source in relation to the spectrum and scale of turbulence, Adv. in Geophys., Vol. 6, 1959.
- 12) 村上和男、亀山 豊：ホットフィルム流速計と超音波流速計による乱れ測定および拡散係数の算定、港湾技研資料、No. 322, 1979.

参考文献

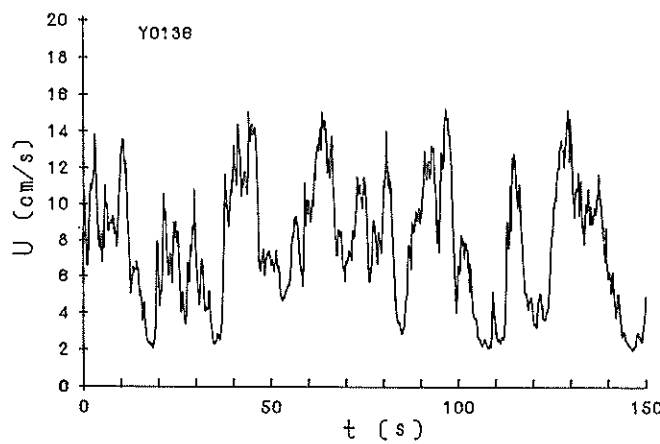
- 1) 金子安雄、木村久雄：松山港（高浜地区）潮流模型実験、港湾技研資料、No. 83, 29 p., 1969.

付録 Case 4 における流速計 (3.0 mm ϕ) の記録

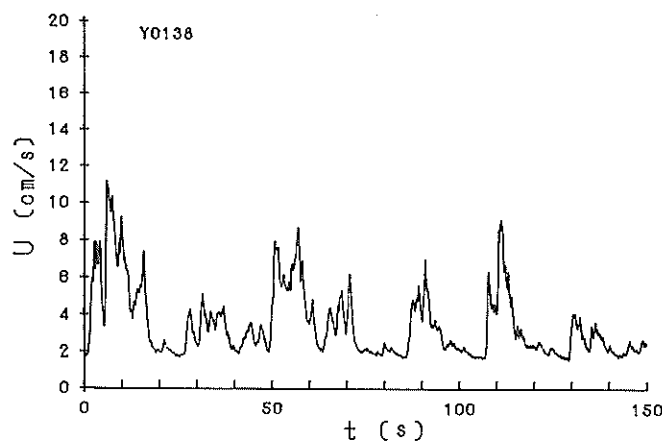




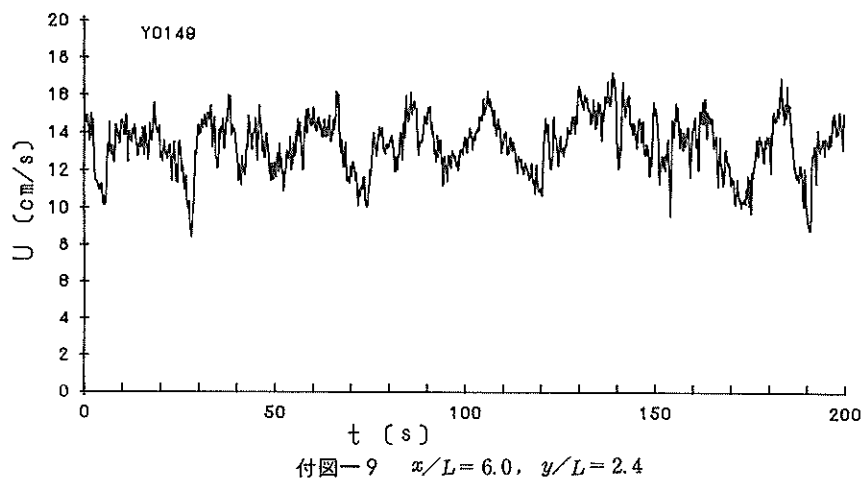
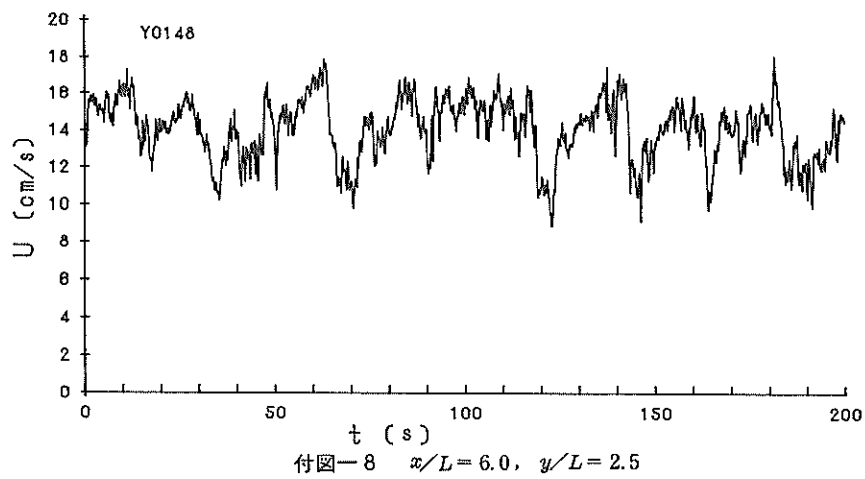
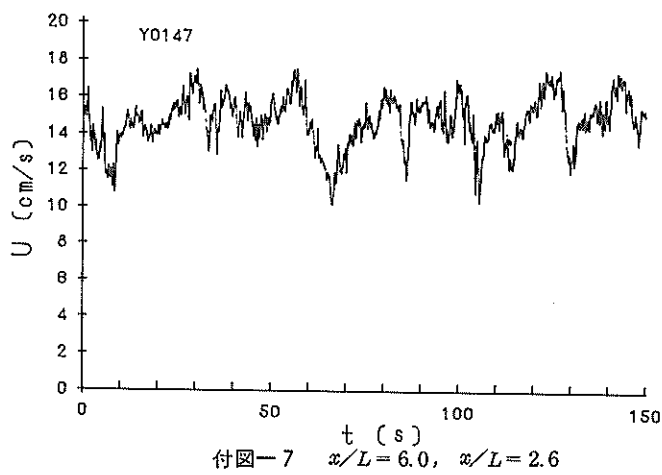
付図-4 $x/L = 2.0, z/L = 1.9$

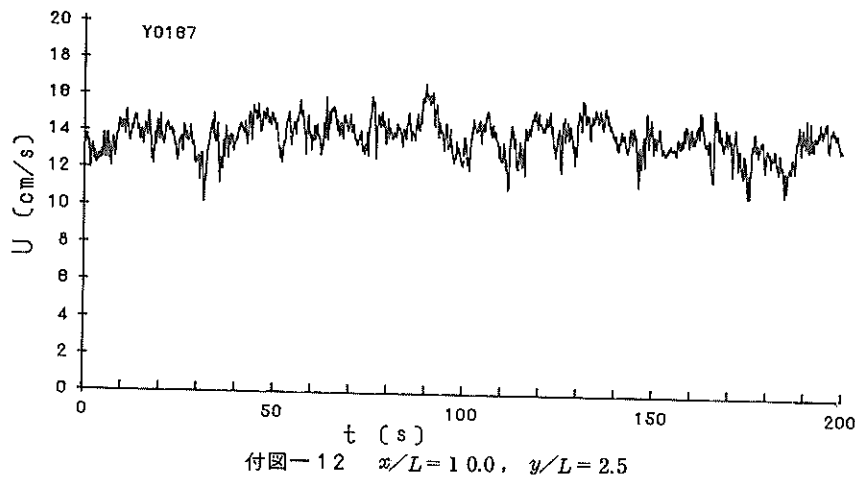
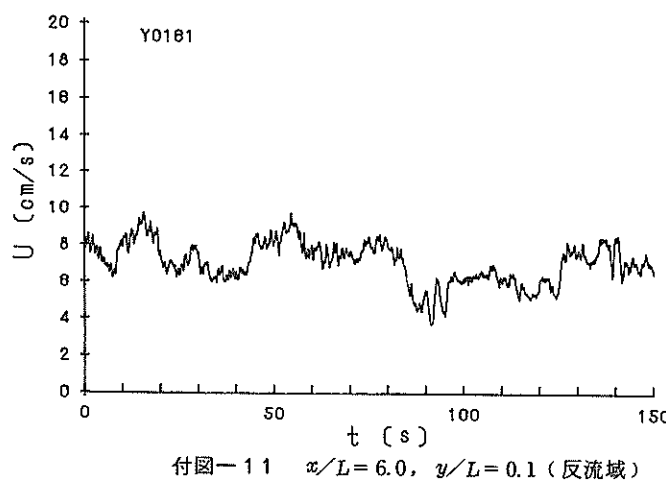
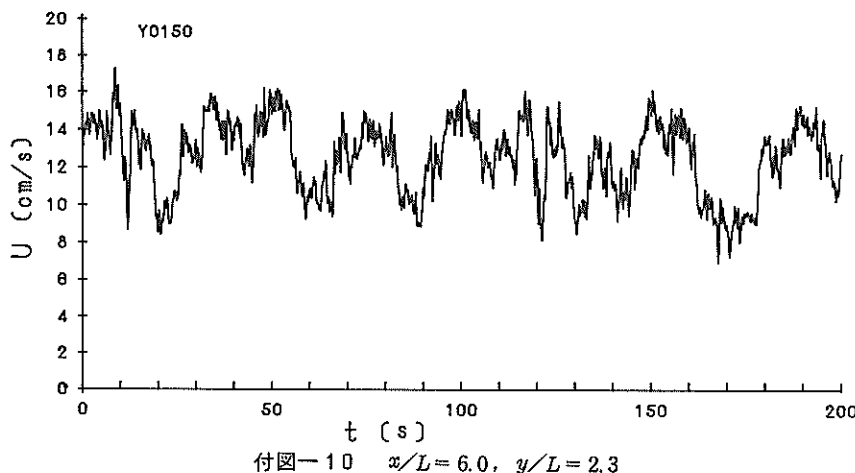


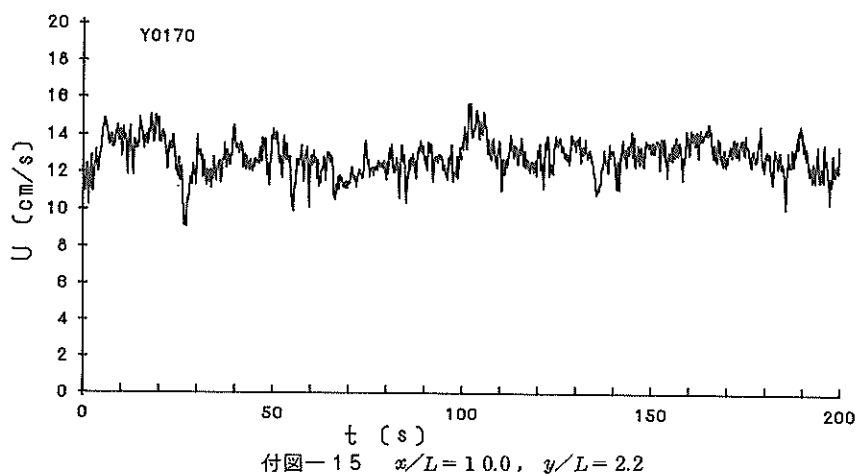
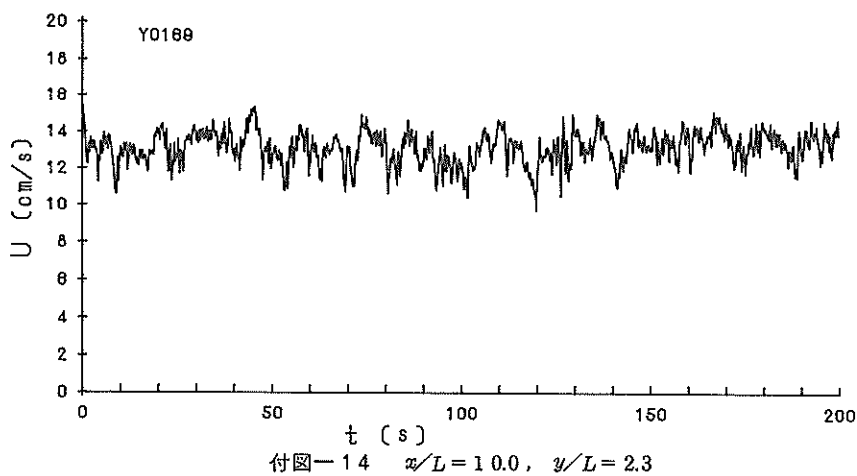
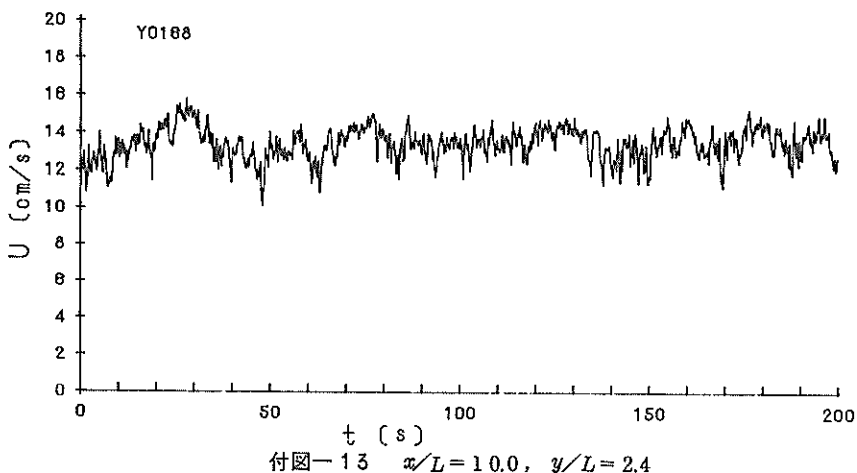
付図-5 $x/L = 2.0, z/L = 1.8$

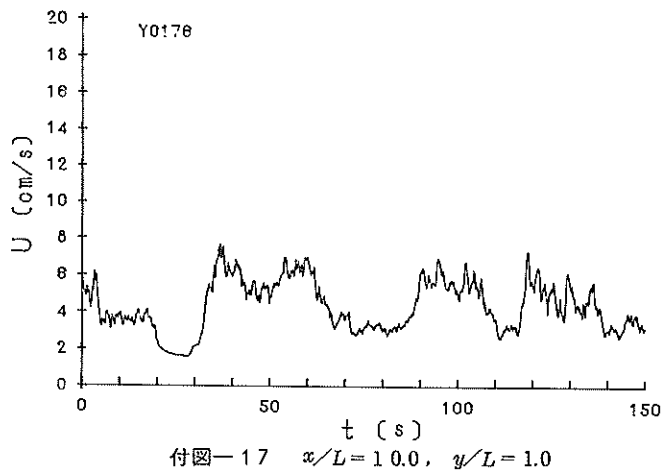
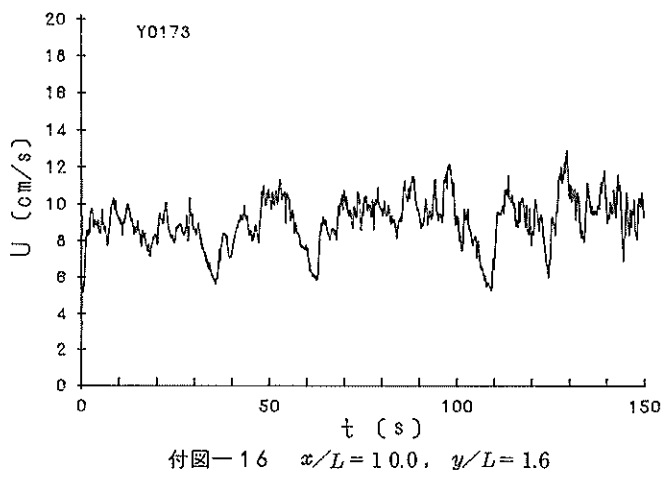


付図-6 $x/L = 2.0, z/L = 1.6$









港湾技研資料 No.349

1980・6

編集兼発行人 運輸省港湾技術研究所

発 行 所 運輸省港湾技術研究所
横須賀市長瀬3丁目1番1号

印 刷 所 株式会社 東京プリント

Published by the Port and Harbour Research Institute
Nagase, Yokosuka, Japan.